

13

Solução numérica de equações diferenciais parciais

13.1 – Advecção pura: a onda cinemática

Considere a equação

$$\frac{\partial u}{\partial t} + c \frac{\partial u}{\partial x} = 0, \quad u(x, 0) = g(x). \quad (13.1)$$

A sua solução pode ser obtida pelo método das características, e é

$$u(x, t) = g(x - ct). \quad (13.2)$$

Seja então o problema

$$\frac{\partial u}{\partial t} + 2 \frac{\partial u}{\partial x} = 0, \quad (13.3)$$

$$u(x, 0) = 2x(1 - x). \quad (13.4)$$

A condição inicial, juntamente com $u(x, 1)$, $u(x, 2)$ e $u(x, 3)$ estão mostrados na figura 13.1. Observe que a solução da equação é uma simples onda cinemática.

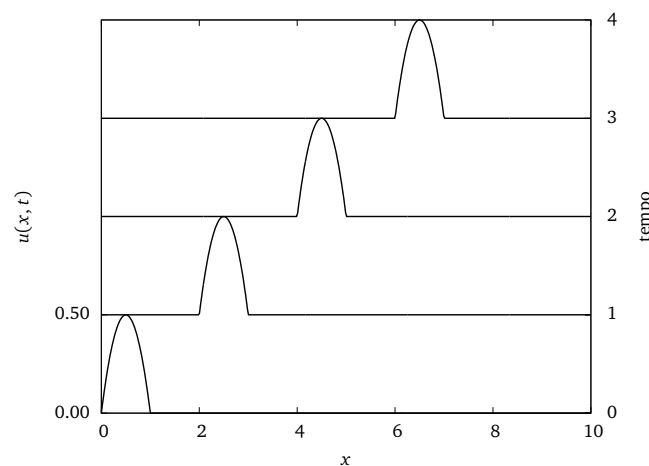


Figura 13.1: Condição inicial da equação 13.3.

Vamos adotar a notação

$$u_i^n \equiv u(x_i, t_n), \quad (13.5)$$

$$x_i = i\Delta x, \quad (13.6)$$

$$t_n = n\Delta t, \quad (13.7)$$

com

$$\Delta x = L/N_x, \quad (13.8)$$

$$\Delta t = T/N_t \quad (13.9)$$

onde L, T são os tamanhos de grade no espaço e no tempo, respectivamente, e N_x, N_t são os números de divisões no espaço e no tempo.

Uma maneira simples de transformar as derivadas parciais em diferenças finitas na equação (13.3) é fazer

$$\left. \frac{\partial u}{\partial t} \right|_{i,n} = \frac{u_i^{n+1} - u_i^n}{\Delta t} + O(\Delta t), \quad (13.10)$$

$$\left. \frac{\partial u}{\partial x} \right|_{i,n} = \frac{u_{i+1}^n - u_{i-1}^n}{2\Delta x} + O(\Delta x^2). \quad (13.11)$$

Substituindo na equação (13.3), obtemos o esquema de diferenças finitas *explícito*:

$$\begin{aligned} \frac{u_i^{n+1} - u_i^n}{\Delta t} &= -c \left(\frac{u_{i+1}^n - u_{i-1}^n}{2\Delta x} \right), \\ u_i^{n+1} &= u_i^n - \frac{c\Delta t}{2\Delta x} (u_{i+1}^n - u_{i-1}^n), \end{aligned} \quad (13.12)$$

(com $c = 2$ no nosso caso). Esse é um esquema incondicionalmente *instável*, e vai fracassar. Vamos fazer uma primeira tentativa, já conformados com o fracasso antecipado. Ela vai servir para desenferrujar nossas habilidades de programação de métodos de diferenças finitas.

O programa que implementa o esquema instável é o `onda1d-ins.py`, mostrado na listagem 13.1. Por motivos que ficarão mais claros na sequência, nós escolhemos $\Delta x = 0,01$, e $\Delta t = 0,0005$.

O programa gera um arquivo de saída binário, que por sua vez é lindo pelo próximo programa na sequência, `surf1d-ins.py`, mostrado na listagem 13.2. O único trabalho deste programa é selecionar algumas “linhas” da saída de `onda1d-ins.py`; no caso, nós o rodamos com o comando

```
[ surf1d-ins.py 3 250 ],
```

o que significa selecionar 3 saídas (além da condição inicial), de 250 em 250 intervalos de tempo Δt . Observe que para isto nós utilizamos uma lista (`v`), cujos elementos são arrays.

O resultado dos primeiros 750 intervalos de tempo de simulação é mostrado na figura 13.2. Repare como a solução se torna rapidamente instável. Repare também como a solução numérica, em $t = 750\Delta t = 0,375$, ainda está bastante distante dos tempos mostrados na solução analítica da figura 13.1 (que vão até $t = 4$). Claramente, o esquema explícito que nós programamos jamais nos levará a uma solução numérica satisfatória para tempos da ordem de $t = 1$!

Listagem 13.1: onda1d-ins.py — Solução de uma onda 1D com um método explícito instável

```

1  #!/usr/bin/python
2  # -*- coding: iso-8859-1 -*-
3  # -----
4  # onda1d-ins resolve uma equação de onda com um método
5  # explícito
6  #
7  # uso: ./onda1d-ins.py
8  # -----
9  from __future__ import print_function
10 from __future__ import division
11 fou = open('onda1d-ins.dat','wb')
12 dx = 0.01
13 dt = 0.0005
14 print('#_dx_=%9.4f' % dx)
15 print('#_dy_=%9.4f' % dt)
16 from numpy import zeros
17 nx = int(10.0/dx)          # número de pontos em x
18 nt = int(1.0/dt)          # número de pontos em t
19 print('#_nx_=%9d' % nx)
20 print('#_nt_=%9d' % nt)
21 u = zeros((2,nx+1),float) # apenas 2 posições no tempo
22                          # são necessárias!
23 def CI(x):                # define a condição inicial
24     if 0 <= x <= 1.0:
25         return 2.0*x*(1.0-x)
26     else:
27         return 0.0
28 for i in range(nx+1):     # monta a condição inicial
29     xi = i*dx
30     u[0,i] = CI(xi)
31 u[0].tofile(fou)         # imprime a condição inicial
32 old = False
33 new = True
34 c = 2.0                  # celeridade da onda
35 couhalf = c*dt/(2.0*dx) # metade do número de Courant
36 for n in range(nt):      # loop no tempo
37     for i in range(1,nx): # loop no espaço
38         u[new,i] = u[old,i] - couhalf*(u[old,i+1] - u[old,i-1])
39     u[new,0] = 0.0
40     u[new,nx] = 0.0
41     u[new].tofile(fou)    # imprime uma linha com os novos dados
42     (old,new) = (new,old) # troca os índices
43 fou.close()

```

Listagem 13.2: surf1d-ins.py — Selecciona alguns intervalos de tempo da solução numérica para plotagem

```

1  #!/usr/bin/python
2  # -*- coding: iso-8859-1 -*-
3  # -----
4  # surf1d-ins.py: imprime em <arq> <m>+1 saídas de
5  # ondald-ins a cada <n> intervalos de tempo
6  #
7  # uso: ./surf1d-ins.py <m> <n>
8  # -----
9  from __future__ import print_function
10 from __future__ import division
11 from sys import argv
12 dx = 0.01
13 dt = 0.0005
14 print('#_dx_=%9.4f' % dx)
15 print('#_dy_=%9.4f' % dt)
16 nx = int(10.0/dx)          # número de pontos em x
17 print('#_nx_=%9d' % nx)
18 m = int(argv[1])           # m saídas
19 n = int(argv[2])           # a cada n intervalos de tempo
20 print('#_m_=%9d' % m)
21 print('#_n_=%9d' % n)
22 fin = open('ondald-ins.dat',
23           'rb')             # abre o arquivo com os dados
24 from numpy import fromfile
25 u = fromfile(fin,float,nx+1) # lê a condição inicial
26 v = [u]                    # inicializa a lista da "transposta"
27 for it in range(m):        # para <m> instantes:
28     for ir in range(n):    # lê <ir> vezes, só guarda a última
29         u = fromfile(fin,float,nx+1)
30         v.append(u)        # guarda a última
31 founam = 'surf1d-ins.dat'
32 print(founam)
33 fou = open(founam,'wt')    # abre o arquivo de saída
34 for i in range(nx+1):
35     fou.write('%10.6f' % (i*dx))    # escreve o "x"
36     fou.write('%10.6f' % v[0][i])  # escreve a cond inicial
37     for k in range(1,m+1):
38         fou.write('%10.6f' % v[k][i])# escreve o k-ésimo
39     fou.write('\n')
40 fou.close()

```

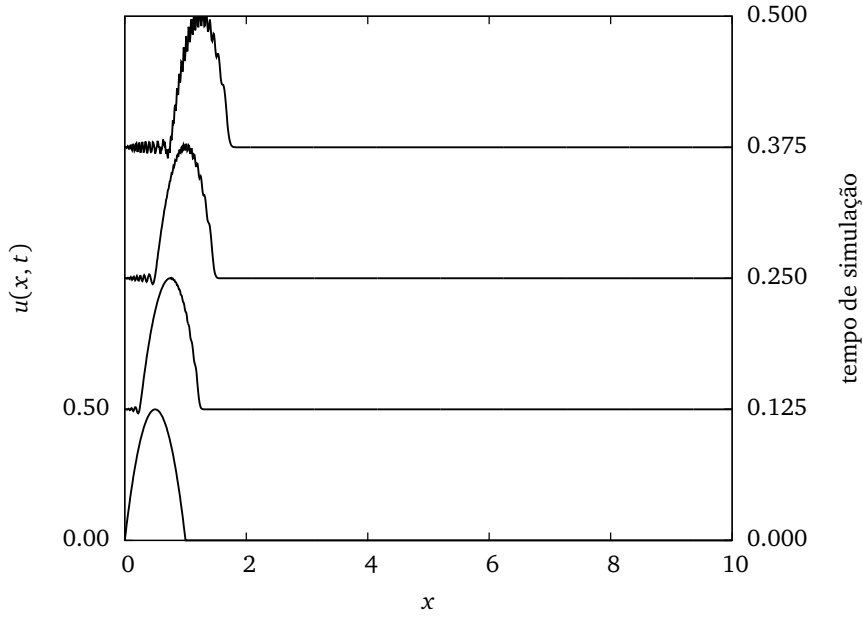


Figura 13.2: Solução numérica produzida por `ondald-ins.py`, para $t = 250\Delta t$, $500\Delta t$ e $750\Delta t$.

Por que o esquema utilizado em (13.12) fracassa? Uma forma de obter a resposta é fazer uma *análise de estabilidade de von Neumann*.

A análise de estabilidade de von Neumann consiste primeiramente em observar que, em um computador real, (13.12) jamais será calculada com precisão infinita. O que o computador realmente calcula é um valor *truncado* \tilde{u}_i^n . Por enquanto, nós só vamos fazer essa distinção de notação, entre \tilde{u} e u , aqui, onde ela importa. O *erro de truncamento* é

$$\epsilon_i^n \equiv \tilde{u}_i^n - u_i^n. \quad (13.13)$$

Note que (13.12) se aplica tanto para u quanto para \tilde{u} ; subtraindo as equações resultantes para \tilde{u}_i^{n+1} e u_i^{n+1} , obtém-se a *mesma* equação para a evolução de ϵ_i^n :

$$\epsilon_i^{n+1} = \epsilon_i^n - \frac{\text{Co}}{2}(\epsilon_{i+1}^n - \epsilon_{i-1}^n), \quad (13.14)$$

onde

$$\text{Co} \equiv \frac{c\Delta t}{\Delta x} \quad (13.15)$$

é o *número de Courant*. Isso só foi possível porque (13.12) é uma equação *linear* em u . Mesmo para equações não-lineares, entretanto, sempre será possível fazer pelo menos uma *análise local* de estabilidade.

O próximo passo da análise de estabilidade de von Neumann é escrever uma série de Fourier para ϵ_i^n , na forma

$$\begin{aligned} t_n &= n\Delta t, \\ x_i &= i\Delta x, \\ \epsilon_i^n &= \sum_{l=1}^{N/2} \xi_l e^{at_n} e^{ik_l x_i}, \end{aligned} \quad (13.16)$$

onde e é a base dos logaritmos naturais, $i = \sqrt{-1}$, $N = L/\Delta x$ é o número de pontos da discretização em x , e L é o tamanho do domínio em x .

Argumentando novamente com a linearidade, desta vez de (13.14), ela vale para cada modo l de (13.16), donde

$$\xi_l e^{a(t_n+\Delta t)} e^{ik_l i \Delta x} = \xi_l e^{at_n} e^{ik_l i \Delta x} - \frac{\text{Co}}{2} \left(\xi_l e^{at_n} e^{ik_l(i+1)\Delta x} - \xi_l e^{at_n} e^{ik_l(i-1)\Delta x} \right); \quad (13.17)$$

eliminando o fator comum $\xi_l e^{at_n + ik_l i \Delta x}$,

$$\begin{aligned} e^{a\Delta t} &= 1 - \frac{\text{Co}}{2} \left(e^{+ik_l \Delta x} - e^{-ik_l \Delta x} \right) \\ &= 1 - i\text{Co} \sin k_l \Delta x. \end{aligned} \quad (13.18)$$

O lado direito é um número complexo, de maneira que o lado esquerdo também tem que ser! Como conciliá-los? Fazendo $a = \alpha + i\beta$, e substituindo:

$$\begin{aligned} e^{(\alpha-i\beta)\Delta t} &= 1 - i\text{Co} \sin k_l \Delta x; \\ e^{\alpha\Delta t} [\cos(\beta\Delta t) - i\sin(\beta\Delta t)] &= 1 - i\text{Co} \sin k_l \Delta x; \Rightarrow \\ e^{\alpha\Delta t} \cos(\beta\Delta t) &= 1, \end{aligned} \quad (13.19)$$

$$e^{\alpha\Delta t} \sin(\beta\Delta t) = \text{Co} \sin(k_l \Delta x). \quad (13.20)$$

As duas últimas equações formam um sistema não-linear nas incógnitas α β . O sistema pode ser resolvido:

$$\text{tg}(\beta\Delta t) = \text{Co} \sin(k_l \Delta x) \Rightarrow \beta\Delta t = \arctg(\text{Co} \sin(k_l \Delta x)).$$

Note que $\beta \neq 0$, donde $e^{\alpha\Delta t} > 1$ via (13.19), e o esquema de diferenças finitas é incondicionalmente instável.

O método de Lax Uma alternativa que produz um esquema estável é o método de Lax:

$$u_i^{n+1} = \frac{1}{2} \left[(u_{i+1}^n + u_{i-1}^n) - \text{Co}(u_{i+1}^n - u_{i-1}^n) \right]. \quad (13.21)$$

Agora que nós já sabemos que esquemas numéricos podem ser instáveis, devemos fazer uma análise de estabilidade *antes* de tentar implementar (13.21) numericamente. Vamos a isto: utilizando novamente (13.16) e substituindo em (13.21), temos

$$\begin{aligned} \xi_l e^{a(t_n+\Delta t)} e^{ik_l i \Delta x} &= \frac{1}{2} \left[\left(\xi_l e^{at_n} e^{ik_l(i+1)\Delta x} + \xi_l e^{at_n} e^{ik_l(i-1)\Delta x} \right) \right. \\ &\quad \left. - \text{Co} \left(\xi_l e^{at_n} e^{ik_l(i+1)\Delta x} - \xi_l e^{at_n} e^{ik_l(i-1)\Delta x} \right) \right]; \\ e^{a\Delta t} &= \frac{1}{2} \left[\left(e^{+ik_l \Delta x} + e^{-ik_l \Delta x} \right) - \text{Co} \left(e^{+ik_l \Delta x} - e^{-ik_l \Delta x} \right) \right]; \\ e^{a\Delta t} &= \cos(k_l \Delta x) - i\text{Co} \sin(k_l \Delta x) \end{aligned} \quad (13.22)$$

Nós podemos, é claro, fazer $a = \alpha - i\beta$, mas há um caminho mais rápido: o truque é perceber que se o fator de amplificação $e^{a\Delta t}$ for um número complexo com módulo maior que 1, o esquema será instável. Desejamos, portanto, que $|e^{a\Delta t}| \leq 1$, o que só é possível se

$$\text{Co} \leq 1, \quad (13.23)$$

que é o critério de estabilidade de Courant-Friedrichs-Lewy.

A “mágica” de (13.21) é que ela introduz um pouco de *difusão numérica*; de fato, podemos reescrevê-la na forma

$$\begin{aligned} \frac{u_i^{n+1} - u_i^n}{\Delta t} &= -c \frac{u_{i+1}^n - u_{i-1}^n}{2\Delta x} + \frac{u_{i+1}^n - 2u_i^n + u_{i-1}^n}{2\Delta t} \\ &= -c \frac{u_{i+1}^n - u_{i-1}^n}{2\Delta x} + \left(\frac{\Delta x^2}{2\Delta t} \right) \frac{u_{i+1}^n - 2u_i^n + u_{i-1}^n}{\Delta x^2}. \end{aligned} \quad (13.24)$$

Não custa repetir: (13.24) é *idêntica* a (13.21). Porém, comparando-a com (13.12) (nosso esquema instável inicialmente empregado), nós vemos que ela também é equivalente a esta última, *com o termo adicional* $(\Delta x^2/2\Delta t)(u_{i+1}^n - 2u_i^n + u_{i-1}^n)/\Delta x^2$. O que este termo adicional significa? A resposta é *uma derivada numérica de ordem 2*. De fato, considere as expansões em série de Taylor

$$\begin{aligned} u_{i+1} &= u_i + \frac{du}{dx} \Big|_i \Delta x + \frac{1}{2} \frac{d^2u}{dx^2} \Big|_i \Delta x^2 + O(\Delta x^3), \\ u_{i-1} &= u_i - \frac{du}{dx} \Big|_i \Delta x + \frac{1}{2} \frac{d^2u}{dx^2} \Big|_i \Delta x^2 + O(\Delta x^3), \end{aligned}$$

e some:

$$\begin{aligned} u_{i+1} + u_{i-1} &= 2u_i + \frac{d^2u}{dx^2} \Big|_i \Delta x^2 + O(\Delta x^4), \\ \frac{d^2u}{dx^2} \Big|_i &= \frac{u_{i+1} - 2u_i + u_{i-1}}{\Delta x^2} + O(\Delta x^2). \end{aligned} \quad (13.25)$$

Portanto, a equação (13.24) — ou seja: o esquema de Lax (13.21) — pode ser interpretada *também* como uma solução aproximada da equação de advecção-difusão

$$\frac{\partial u}{\partial t} + c \frac{\partial u}{\partial x} = D \frac{\partial^2 u}{\partial x^2},$$

com

$$D = \left(\frac{\Delta x^2}{2\Delta t} \right).$$

Note que D tem dimensões de *difusividade*: $[D] = \mathbb{L}^2\mathbb{T}^{-1}$. No entanto: não estamos então resolvendo a equação *errada*? De certa forma, sim: estamos introduzindo um pouco de difusão na equação para amortecer as oscilações que aparecerão em decorrência da amplificação dos erros de truncamento.

O quanto isto nos prejudica? Não muito, *desde que o efeito da difusão seja muito menor que o da advecção que estamos tentando simular*. Como a velocidade de advecção (“física”; “real”) que estamos simulando é c , precisamos comparar isto com (por exemplo) a magnitude das velocidades introduzidas pela difusão numérica; devemos

portanto verificar se

$$\begin{aligned} \frac{D \frac{\partial^2 u}{\partial x^2}}{c \frac{\partial u}{\partial x}} &\ll 1, \\ \frac{D \frac{u}{\Delta x^2}}{c \frac{u}{\Delta x}} &\ll 1, \\ \frac{D}{\Delta x} &\ll c, \\ \frac{\Delta x^2}{2\Delta t \Delta x} &\ll c, \\ \frac{c\Delta t}{\Delta x} = Co &\gg \frac{1}{2} \end{aligned}$$

Em outras palavras, nós descobrimos que o critério para que o esquema seja acurado do ponto de vista físico é conflitante com o critério de estabilidade: enquanto que estabilidade demandava $Co < 1$, o critério de que a solução seja *também* fisicamente acurada demanda que $Co \gg 1/2$. Na prática, isto significa que, para $c = 2$, ou o esquema é estável com muita difusão numérica, ou ele é instável. Isto praticamente elimina a possibilidade de qualquer uso sério de (13.21).

Mesmo assim, vamos programá-lo! O programa `onda1d-lax.py` está mostrado na listagem 13.3. Ele usa os mesmos valores $\Delta t = 0,0005$ e $\Delta x = 0,01$, ou seja, $Co = 0,10$.

O programa gera um arquivo de saída binário, que por sua vez é lido pelo próximo programa na sequência, `surf1d-lax.py`, mostrado na listagem 13.4. O único trabalho deste programa é selecionar algumas “linhas” da saída de `onda1d-lax.py`; no caso, nós o rodamos com o comando

```
[ surf1d-lax.py 3 500 ] ,
```

o que significa selecionar 3 saídas (além da condição inicial), de 500 em 500 intervalos de tempo Δt . Com isto, nós conseguimos chegar até o instante 0,75 da simulação.

O resultado dos primeiros 1500 intervalos de tempo de simulação é mostrado na figura 13.3. Observe que agora não há oscilações espúrias: o esquema é estável no tempo. No entanto, a solução está agora “amortecida” pela difusão numérica!

Upwind Um esquema que é conhecido na literatura como indicado por representar melhor o termo advectivo em (13.1) é o esquema de diferenças regressivas; neste esquema, chamado de esquema *upwind* — literalmente, “corrente acima” — na literatura de língua inglesa, a discretização utilizada é

$$\begin{aligned} \frac{u_i^{n+1} - u_i^n}{\Delta t} &= -c \frac{u_i^n - u_{i-1}^n}{\Delta x}, \\ u_i^{n+1} &= u_i^n - Co [u_i^n - u_{i-1}^n]. \end{aligned} \quad (13.26)$$

Claramente, estamos utilizando um esquema de $O(\Delta x)$ para a derivada espacial. Ele é um esquema menos acurado que os usados anteriormente, mas se ele ao mesmo tempo for condicionalmente estável e não introduzir difusão numérica, o resultado pode ser melhor para tratar a advecção.

Antes de “colocarmos as mãos na massa”, sabemos que devemos analisar analiticamente a estabilidade do esquema. Vamos a isto:

Listagem 13.3: onda1d-lax.py — Solução de uma onda 1D com um método explícito laxtável

```

1  #!/usr/bin/python
2  # -*- coding: iso-8859-1 -*-
3  # -----
4  # onda1d-lax resolve uma equação de onda com um método
5  # explícito
6  #
7  # uso: ./onda1d-ins.py
8  # -----
9  from __future__ import print_function
10 from __future__ import division
11 fou = open('onda1d-lax.dat','wb')
12 dx = 0.01
13 dt = 0.0005
14 print('#_dx_=%9.4f' % dx)
15 print('#_dy_=%9.4f' % dt)
16 from numpy import zeros
17 nx = int(10.0/dx)          # número de pontos em x
18 nt = int(1.0/dt)          # número de pontos em t
19 print('#_nx_=%9d' % nx)
20 print('#_nt_=%9d' % nt)
21 u = zeros((2,nx+1),float) # apenas 2 posições no tempo
22                             # são necessárias!
23 def CI(x):                 # define a condição inicial
24     if 0 <= x <= 1.0:
25         return 2.0*x*(1.0-x)
26     else:
27         return 0.0
28 for i in range(nx+1):      # monta a condição inicial
29     xi = i*dx
30     u[0,i] = CI(xi)
31 u[0].tofile(fou)          # imprime a condição inicial
32 old = False
33 new = True
34 c = 2.0                   # celeridade da onda
35 cou = c*dt/(dx)           # número de Courant
36 print("Co_=%10.6f" % cou)
37 for n in range(nt):       # loop no tempo
38     for i in range(1,nx): # loop no espaço
39         u[new,i] = 0.5*( (u[old,i+1] + u[old,i-1]) -
40                           cou*(u[old,i+1] - u[old,i-1]) )
41     u[new,0] = 0.0
42     u[new,nx] = 0.0
43     u[new].tofile(fou)     # imprime uma linha com os novos dados
44     (old,new) = (new,old)  # troca os índices
45 fou.close()

```

Listagem 13.4: surf1d-lax.py — Selecciona alguns intervalos de tempo da solução numérica para plotagem

```

1  #!/usr/bin/python
2  # -*- coding: iso-8859-1 -*-
3  # -----
4  # surf1d-lax.py: imprime em <arq> <m>+1 saídas de
5  # ondald-lax a cada <n> intervalos de tempo
6  #
7  # uso: ./surf1d-lax.py <m> <n>
8  # -----
9  from __future__ import print_function
10 from __future__ import division
11 from sys import argv
12 dx = 0.01
13 dt = 0.0005
14 print('#_dx_=%9.4f' % dx)
15 print('#_dy_=%9.4f' % dt)
16 nx = int(10.0/dx)          # número de pontos em x
17 print('#_nx_=%9d' % nx)
18 m = int(argv[1])           # m saídas
19 n = int(argv[2])           # a cada n intervalos de tempo
20 print('#_m_=%9d' % m)
21 print('#_n_=%9d' % n)
22 fin = open('ondald-lax.dat',
23           'rb')             # abre o arquivo com os dados
24 from numpy import fromfile
25 u = fromfile(fin,float,nx+1) # lê a condição inicial
26 v = [u]                    # inicializa a lista da "transposta"
27 for it in range(m):         # para <m> instantes:
28     for ir in range(n):     # lê <ir> vezes, só guarda a última
29         u = fromfile(fin,float,nx+1)
30         v.append(u)         # guarda a última
31 founam = 'surf1d-lax.dat'
32 print(founam)
33 fou = open(founam,'wt')     # abre o arquivo de saída
34 for i in range(nx+1):
35     fou.write('%10.6f' % (i*dx)) # escreve o "x"
36     fou.write('%10.6f' % v[0][i]) # escreve a cond inicial
37     for k in range(1,m+1):
38         fou.write('%10.6f' % v[k][i]) # escreve o k-ésimo
39     fou.write('\n')
40 fou.close()

```

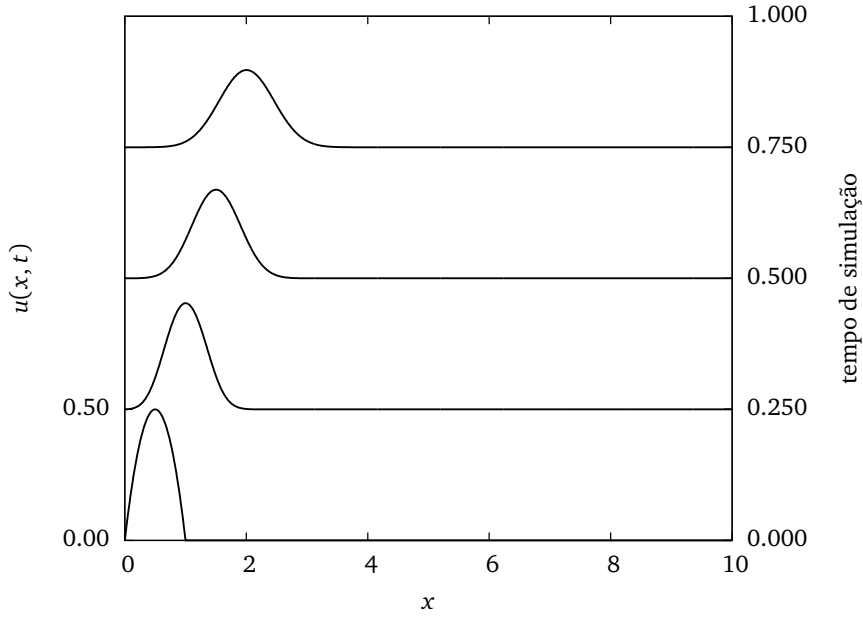


Figura 13.3: Solução numérica produzida por `onda1d-lax.py`, para $t = 500\Delta t$, $1000\Delta t$ e $1500\Delta t$.

$$\begin{aligned}
 \xi_l e^{a(t_n+\Delta t)} e^{ik_l i \Delta x} &= \xi_l e^{at_n} e^{ik_l i \Delta x} - \text{Co} \left[\xi_l e^{at_n} e^{ik_l i \Delta x} - \xi_l e^{at_n} e^{ik_l (i-1) \Delta x} \right] \\
 e^{a\Delta t} e^{ik_l i \Delta x} &= e^{ik_l i \Delta x} - \text{Co} \left[e^{ik_l i \Delta x} - e^{ik_l (i-1) \Delta x} \right] \\
 e^{a\Delta t} &= 1 - \text{Co} \left[1 - e^{-ik_l \Delta x} \right] \\
 e^{a\Delta t} &= 1 - \text{Co} + \text{Co} \cos(k_l \Delta x) - i \text{Co} \sin(k_l \Delta x). \tag{13.27}
 \end{aligned}$$

Desejamos que o módulo do fator de amplificação $e^{a\Delta t}$ seja menor que 1. O módulo (ao quadrado) é

$$|e^{a\Delta t}|^2 = (1 - \text{Co} + \text{Co} \cos(k_l \Delta x))^2 + (\text{Co} \sin(k_l \Delta x))^2.$$

Para aliviar a notação, façamos

$$C_k \equiv \cos(k_l \Delta x),$$

$$S_k \equiv \sin(k_l \Delta x).$$

Então,

$$\begin{aligned}
 |e^{a\Delta t}|^2 &= (\text{Co} S_k)^2 + (\text{Co} C_k - \text{Co} + 1)^2 \\
 &= \text{Co}^2 S_k^2 + (\text{Co}^2 C_k^2 + \text{Co}^2 + 1) + 2(-\text{Co}^2 C_k + \text{Co} C_k - \text{Co}) \\
 &= \text{Co}^2 (S_k^2 + C_k^2 + 1 - 2C_k) + 2\text{Co}(C_k - 1) + 1 \\
 &= 2\text{Co}^2(1 - C_k) + 2\text{Co}(C_k - 1) + 1.
 \end{aligned}$$

A condição para que o esquema de diferenças finitas seja estável é, então,

$$2\text{Co}^2(1 - C_k) + 2\text{Co}(C_k - 1) + 1 \leq 1,$$

$$2\text{Co} [\text{Co}(1 - C_k) + (C_k - 1)] \leq 0,$$

$$(1 - \cos(k_l \Delta x)) [\text{Co} - 1] \leq 0,$$

$$\text{Co} \leq 1 \blacksquare$$

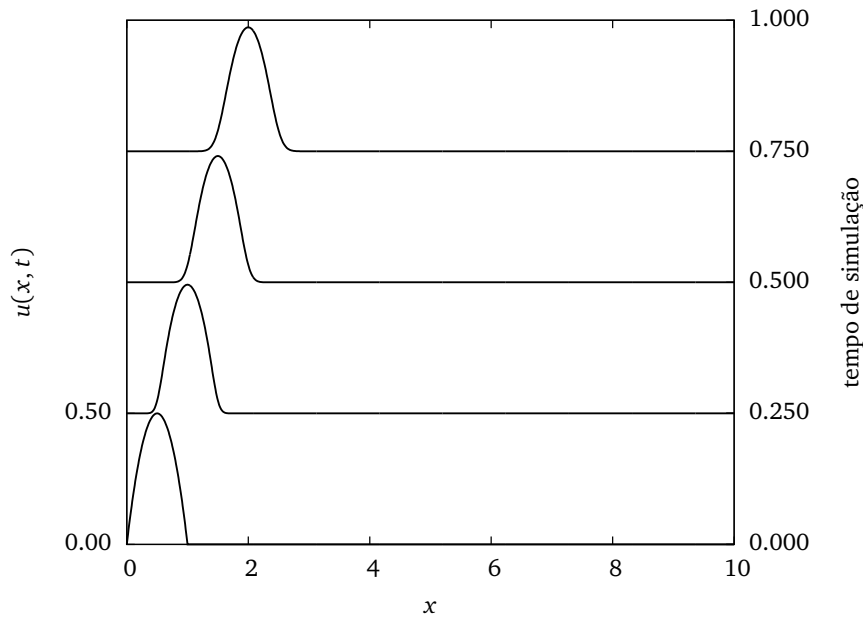


Figura 13.4: Solução numérica produzida pelo esquema *upwind*, para $t = 500\Delta t$, $1000\Delta t$ e $1500\Delta t$.

Reencontramos, portanto, a condição (13.23), mas em um outro esquema de diferenças finitas. A lição não deve ser mal interpretada: longe de supor que (13.23) vale sempre, é a análise de estabilidade que deve refeita para cada novo esquema de diferenças finitas!

O esquema *upwind*, portanto, é condicionalmente estável, e tudo indica que podemos agora implementá-lo computacionalmente, e ver no que ele vai dar. Nós utilizamos os mesmos valores de Δt e de Δx de antes. As mudanças necessárias nos códigos computacionais são óbvias, e são deixadas a cargo do(a) leitor(a).

A figura 13.4 mostra o resultado do esquema *upwind*. Note que ele é *muito melhor* (para esta equação diferencial) que o esquema de Lax. No entanto, a figura sugere que algum amortecimento também está ocorrendo, embora em grau muito menor.

Exercícios Propostos

13.1 Escreva o programa `onda1d-upw` e `surfa1d-upw`, que implementam o esquema *upwind*. Reproduza a figura 13.4.

13.2 Calcule a difusividade numérica introduzida pelo esquema *upwind*.

13.2 – Difusão pura

Considere agora a equação da difusão,

$$\frac{\partial u}{\partial t} = D \frac{\partial^2 u}{\partial x^2}, \quad (13.28)$$

com condições iniciais e de contorno

$$u(x, 0) = f(x) \quad (13.29)$$

$$u(0, t) = u(L, t) = 0. \quad (13.30)$$

Esta solução será vista no capítulo 17:

$$u(x, t) = \sum_{n=1}^{\infty} A_n e^{-\frac{n^2 \pi^2 a^2}{L^2} t} \operatorname{sen} \frac{n \pi x}{L}, \quad (13.31)$$

$$A_n = \frac{2}{L} \int_0^L f(x) \operatorname{sen} \frac{n \pi x}{L} dx. \quad (13.32)$$

Em particular, se

$$\begin{aligned} D &= 2, \\ L &= 1, \\ f(x) &= 2x(1-x), \\ A_n &= 2 \int_0^1 2x(1-x) \operatorname{sen}(n\pi x) dx = \frac{8}{\pi^3 n^3} [1 - (-1)^n]. \end{aligned}$$

Todos os A_n 's pares se anulam. Fique então apenas com os ímpares:

$$\begin{aligned} A_{2n+1} &= \frac{16}{\pi^3 (2n+1)^3}, \\ u(x, t) &= \sum_{n=0}^{\infty} \frac{16}{\pi^3 (2n+1)^3} e^{-(2(2n+1)^2 \pi^2) t} \operatorname{sen}((2n+1)\pi x) \end{aligned} \quad (13.33)$$

O programa `difusao1d-ana.py`, mostrado na listagem 13.5, implementa a solução analítica para $\Delta t = 0,0005$ e $\Delta x = 0,001$.

Da mesma maneira que os programas `surf1d*.py`, o programa `divisao1d-ana.py`, mostrado na listagem 13.6, seleciona alguns instantes de tempo da solução analítica para visualização:

`[divisao1d-ana.py 3 100]`.

A figura 13.5 mostra o resultado da solução numérica para $t = 0$, $t = 0,05$, $t = 0,10$ e $t = 0,15$. Este é praticamente o “fim” do processo difusivo, com a solução analítica tendendo rapidamente para zero.

Esquema explícito Talvez o esquema explícito mais óbvio para discretizar (13.28) seja

$$\frac{u_i^{n+1} - u_i^n}{\Delta t} = D \frac{u_{i+1}^n - 2u_i^n + u_{i-1}^n}{\Delta x^2}. \quad (13.34)$$

A derivada parcial em relação ao tempo é de $O(\Delta t)$, enquanto que a derivada segunda parcial em relação ao espaço é, como vimos em (13.25), de $O(\Delta x^2)$. Mas não nos preocupemos muito, ainda, com a acurácia do esquema numérico. Nossa primeira preocupação, como você já sabe, é outra: o esquema (13.34) é estável?

Explicitamos u_i^{n+1} em (13.34):

$$u_i^{n+1} = u_i^n + \operatorname{Fo} [u_{i+1}^n - 2u_i^n + u_{i-1}^n], \quad (13.35)$$

onde

$$\operatorname{Fo} = \frac{D \Delta t}{\Delta x^2} \quad (13.36)$$

Listagem 13.5: difusao1d-ana.py — Solução analítica da equação da difusão

```

1  #!/usr/bin/python
2  # -*- coding: iso-8859-1 -*-
3  # -----
4  # difusao1d-ana: solução analítica de
5  #
6  #  $du/dt = D \, du^2/dx^2$ 
7  #
8  #  $u(x,0) = 2x(1-x)$ 
9  #  $u(0,t) = 0$ 
10 #  $u(1,t) = 0$ 
11 #
12 # uso: ./difusao1d-ana.py
13 # -----
14 from __future__ import print_function
15 from __future__ import division
16 fou = open('difusao1d-ana.dat','wb')
17 dx = 0.001
18 dt = 0.0005
19 print('#_dx=_%.4f' % dx)
20 print('#_dy=_%.4f' % dt)
21 nx = int(1.0/dx)          # número de pontos em x
22 nt = int(1.0/dt)          # número de pontos em t
23 print('#_nx=_%9d' % nx)
24 print('#_nt=_%9d' % nt)
25 from math import pi, sin, exp
26 epsilon = 1.0e-6          # precisão da solução analítica
27 dpiq = 2*pi*pi            #  $2\pi^2$ 
28 dzpic = 16/(pi*pi*pi)     #  $16/\pi^3$ 
29 def ana(x,t):
30     s = 0.0
31     ds = epsilon
32     n = 0
33     while abs(ds) >= epsilon:
34         dnm1 = 2*n + 1      #  $(2n+1)$ 
35         dnmlq = dnm1*dnm1   #  $(2n+1)^2$ 
36         dnmlc = dnmlq*dnm1  #  $(2n+1)^3$ 
37         ds = exp(-dnmlq*dpiq*t)
38         ds *= sin(dnm1*pi*x)
39         ds /= dnmlc
40         s += ds
41         n += 1
42     return s*dzpic
43 from numpy import zeros
44 u = zeros(nx+1,float)      # um array para conter a solução
45 for n in range(nt+1):      # loop no tempo
46     t = n*dt
47     print(t)
48     for i in range(nx+1):  # loop no espaço
49         xi = i*dx
50         u[i] = ana(xi,t)
51     u.tofile(fou)          # imprime uma linha com os novos dados
52 fou.close()

```

Listagem 13.6: divisao1d-ana.py — Selecciona alguns instantes de tempo da solução analítica para visualização

```

1  #!/usr/bin/python
2  # -*- coding: iso-8859-1 -*-
3  # -----
4  # divisao1d-ana.py: imprime em <arq> <m>+1 saídas de
5  # difusao1d-ana a cada <n> intervalos de tempo
6  #
7  # uso: ./divisao1d-ana.py <m> <n>
8  # -----
9  from __future__ import print_function
10 from __future__ import division
11 from sys import argv
12 dx = 0.001
13 dt = 0.0005
14 print('#_dx_=%9.4f' % dx)
15 print('#_dt_=%9.4f' % dt)
16 nx = int(1.0/dx)          # número de pontos em x
17 print('#_nx_=%9d' % nx)
18 m = int(argv[1])          # m saídas
19 n = int(argv[2])          # a cada n intervalos de tempo
20 print('#_m_=%9d' % m)
21 print('#_n_=%9d' % n)
22 fin = open('difusao1d-ana.dat',
23           'rb')           # abre o arquivo com os dados
24 from numpy import fromfile
25 u = fromfile(fin,float,nx+1) # lê a condição inicial
26 v = [u]                   # inicializa a lista da "transposta"
27 for it in range(m):       # para <m> instantes:
28     for ir in range(n):   # lê <ir> vezes, só guarda a última
29         u = fromfile(fin,float,nx+1)
30         v.append(u)       # guarda a última
31 founam = 'divisao1d-ana.dat'
32 print(founam)
33 fou = open(founam,'wt')   # abre o arquivo de saída
34 for i in range(nx+1):
35     fou.write('%10.6f' % (i*dx)) # escreve o "x"
36     fou.write('%10.6f' % v[0][i]) # escreve a cond inicial
37     for k in range(1,m+1):
38         fou.write('%10.6f' % v[k][i]) # escreve o k-ésimo
39     fou.write('\n')
40 fou.close()

```

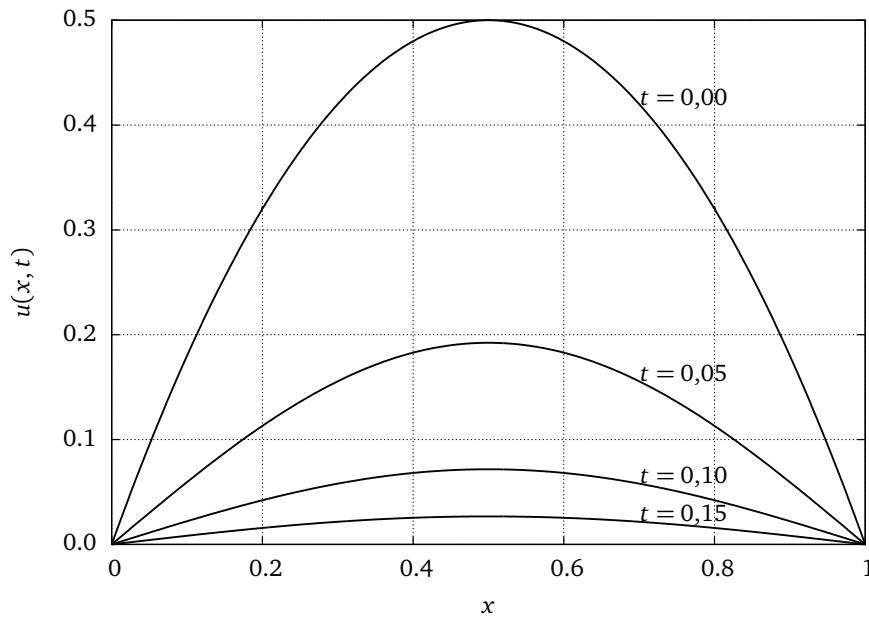


Figura 13.5: Solução analítica da equação de difusão para $t = 0$, $t = 0,05$, $t = 0,10$ e $t = 0,15$.

é o *número de Fourier de grade* (El-Kadi e Ling, 1993). A análise de estabilidade de von Neumann agora produz

$$\begin{aligned}
 \xi_l e^{a(t_n+\Delta t)} e^{ik_l i \Delta x} &= \xi_l e^{at_n} e^{ik_l i \Delta x} + \\
 &\quad \text{Fo} \left[\xi_l e^{at_n} e^{ik_l (i+1) \Delta x} - 2\xi_l e^{at_n} e^{ik_l i \Delta x} + \xi_l e^{at_n} e^{ik_l (i-1) \Delta x} \right], \\
 e^{a\Delta t} &= 1 + \text{Fo} \left[e^{+ik_l \Delta x} - 2 + e^{-ik_l \Delta x} \right] \\
 &= 1 + 2\text{Fo} [\cos(k_l \Delta x) - 1] \\
 &= 1 - 4\text{Fo} \sin^2 \left(\frac{k_l \Delta x}{2} \right)
 \end{aligned} \tag{13.37}$$

A análise de estabilidade requer que $|e^{a\Delta t}| < 1$:

$$|e^{a\Delta t}|^2 = 1 - 8\text{Fo} \sin^2 \left(\frac{k_l \Delta x}{2} \right) + 16\text{Fo}^2 \sin^4 \left(\frac{k_l \Delta x}{2} \right) < 1$$

ou

$$\begin{aligned}
 -8\text{Fo} \sin^2 \left(\frac{k_l \Delta x}{2} \right) + 16\text{Fo}^2 \sin^4 \left(\frac{k_l \Delta x}{2} \right) &< 0, \\
 8\text{Fo} \sin^2 \left(\frac{k_l \Delta x}{2} \right) \left[-1 + 2\text{Fo} \sin^2 \left(\frac{k_l \Delta x}{2} \right) \right] &< 0, \\
 \text{Fo} &< \frac{1}{2}.
 \end{aligned} \tag{13.38}$$

Podemos agora calcular o número de Fourier que utilizamos para plotar a solução analítica (verifique nas listagens 13.5 e 13.6):

$$\text{Fo} = \frac{2 \times 0,0005}{(0,001)^2} = 1000.$$

Listagem 13.7: `difusao1d-exp.py` — Solução numérica da equação da difusão: método explícito.

```

1  #!/usr/bin/python
2  # -*- coding: iso-8859-1 -*-
3  # -----
4  # difusao1d-exp resolve uma equação de difusão com um método
5  # explícito
6  #
7  # uso: ./difusao1d-exp.py
8  # -----
9  from __future__ import print_function
10 from __future__ import division
11 fou = open('difusao1d-exp.dat','wb')
12 dx = 0.01
13 dt = 0.00001
14 print('#_dx_=%9.4f' % dx)
15 print('#_dt_=%9.4f' % dt)
16 from numpy import zeros
17 nx = int(round(1.0/dx,0))      # número de pontos em x
18 nt = int(round(1.0/dt,0))      # número de pontos em t
19 print('#_nx_=%9d' % nx)
20 print('#_nt_=%9d' % nt)
21 u = zeros((2,nx+1),float)    # apenas 2 posições no tempo
22                               # são necessárias!
23 def CI(x):                    # define a condição inicial
24     if 0 <= x <= 1.0:
25         return 2.0*x*(1.0-x)
26     else:
27         return 0.0
28 for i in range(nx+1):         # monta a condição inicial
29     xi = i*dx
30     u[0,i] = CI(xi)
31 u[0].tofile(fou)              # imprime a condição inicial
32 old = False
33 new = True
34 D = 2.0                       # celeridade da onda
35 Fon = D*dt/((dx)**2)          # número de Fourier
36 print("Fo_=%10.6f" % Fon)
37 for n in range(nt):          # loop no tempo
38     print(n)
39     for i in range(1,nx):     # loop no espaço
40         u[new,i] = u[old,i] + Fon*(u[old,i+1] - 2*u[old,i] + u[old,i-1])
41         u[new,0] = 0.0        # condição de contorno, x = 0
42         u[new,nx] = 0.0       # condição de contorno, x = 1
43         u[new].tofile(fou)    # imprime uma linha com os novos dados
44         (old,new) = (new,old) # troca os índices
45 fou.close()

```

Utilizar os valores $\Delta x = 0,0005$ e $\Delta x = 0,001$ levaria a um esquema instável. Precisamos *diminuir* Δt e/ou *aumentar* Δx . Com $\Delta t = 0,00001$ e $\Delta x = 0,01$,

$$Fo = \frac{2 \times 0,00001}{(0,01)^2} = 0,2 < 0,5 \quad (\text{OK}).$$

Repare que $Fo < 1/2$ é um critério de estabilidade muito mais exigente do que $Co < 1/2$ (para $D = 2$). Nós esperamos que nosso esquema explícito agora rode muito lentamente. Mas vamos implementá-lo. O programa que implementa o esquema é o `difusao1d-exp.py`, mostrado na listagem 13.7.

O programa `divisao1d-exp.py`, mostrado na listagem 13.8, seleciona alguns instantes de tempo da solução analítica para visualização:

[`divisao1d-exp 3 5000`] .

Listagem 13.8: divisao1d-exp.py — Selecciona alguns instantes de tempo da solução analítica para visualização

```

1  #!/usr/bin/python
2  # -*- coding: iso-8859-1 -*-
3  # -----
4  # divisao1d-exp.py: imprime em <arq> <m>+1 saídas de
5  # difusao1d-exp a cada <n> intervalos de tempo
6  #
7  # uso: ./divisao1d-exp.py <m> <n>
8  # -----
9  from __future__ import print_function
10 from __future__ import division
11 from sys import argv
12 dx = 0.01
13 dt = 0.00001
14 print('#_dx_=%9.4f' % dx)
15 print('#_dt_=%9.4f' % dt)
16 nx = int(round(1.0/dx,0))      # número de pontos em x
17 nt = int(round(1.0/dt,0))      # número de pontos em t
18 print('#_nx_=%9d' % nx)
19 m = int(argv[1])              # m saídas
20 n = int(argv[2])              # a cada n intervalos de tempo
21 print('#_m_=%9d' % m)
22 print('#_n_=%9d' % n)
23 fin = open('difusao1d-exp.dat',
24           'rb')                # abre o arquivo com os dados
25 from numpy import fromfile
26 u = fromfile(fin,float,nx+1)  # lê a condição inicial
27 v = [u]                       # inicializa a lista da "transposta"
28 for it in range(m):           # para <m> instantes:
29     for ir in range(n):       # lê <ir> vezes, só guarda a última
30         u = fromfile(fin,float,nx+1)
31         v.append(u)           # guarda a última
32 founam = 'divisao1d-exp.dat'
33 fou = open(founam,'wt')        # abre o arquivo de saída
34 for i in range(nx+1):
35     fou.write('%10.6f' % (i*dx))  # escreve o "x"
36     fou.write('%10.6f' % v[0][i]) # escreve a cond inicial
37     for k in range(1,m+1):
38         fou.write('%10.6f' % v[k][i]) # escreve o k-ésimo
39     fou.write('\n')
40 fou.close()

```

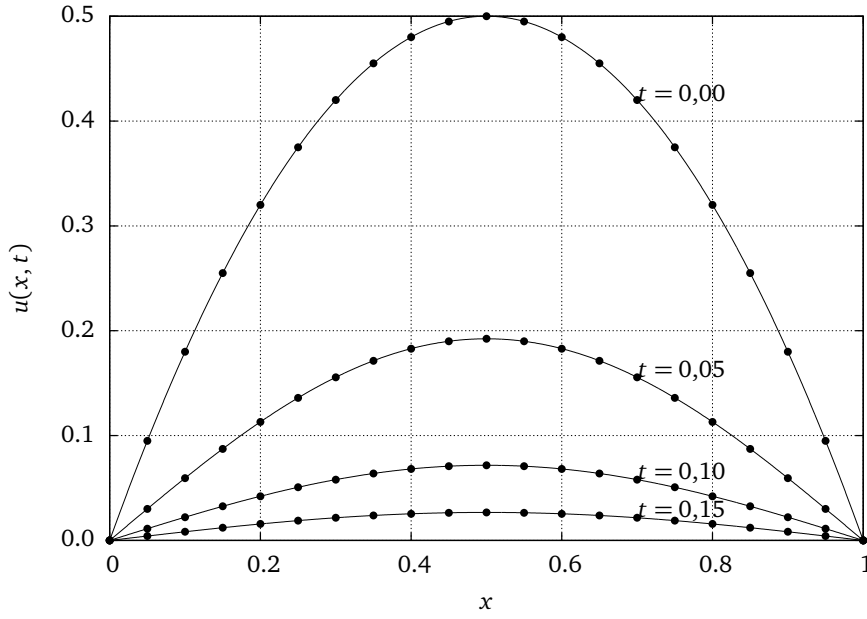


Figura 13.6: Solução numérica com o método explícito (13.35) (círculos) *versus* a solução analítica (linha cheia) da equação de difusão para $t = 0$, $t = 0,05$, $t = 0,10$ e $t = 0,15$. Apenas 1 a cada 5 pontos da grade numérica são mostrados, para facilitar a comparação com a solução analítica.

O resultado da solução numérica com o método explícito está mostrado na figura 13.6: ele é impressionantemente bom, embora seja computacionalmente muito caro. A escolha judiciosa de Δt e Δx para obedecer ao critério (13.38) foi fundamental para a obtenção de um bom resultado “de primeira”, sem a necessidade dolorosa de ficar tentando diversas combinações até que o esquema se estabilize e produza bons resultados.

Esquemas implícitos Embora o esquema explícito que nós utilizamos acima seja acurado, ele é *lento* — se você programou e rodou `difusao1d-exp.py`, deve ter notado *alguma* demora para o programa rodar. Embora nossos computadores estejam ficando a cada dia mais rápidos, isso não é desculpa para utilizar mal nossos recursos computacionais (é claro que, ao utilizarmos uma linguagem interpretada — Python — para programar, nós já estamos utilizando muito mal nossos recursos; no entanto, nosso argumento é didático: com uma linguagem mais simples, podemos aprender mais rápido e errar menos. Além disso, todos os ganhos *relativos* que obtivermos se manterão em qualquer outra linguagem)

Vamos portanto fazer uma mudança fundamental nos nossos esquemas de diferenças finitas: vamos calcular a derivada espacial no instante $n + 1$:

$$\begin{aligned} \frac{u_i^{n+1} - u_i^n}{\Delta t} &= D \frac{u_{i+1}^{n+1} - 2u_i^{n+1} + u_{i-1}^{n+1}}{\Delta x^2}, \\ u_i^{n+1} - u_i^n &= \text{Fo}(u_{i+1}^{n+1} - 2u_i^{n+1} + u_{i-1}^{n+1}), \\ -\text{Fo}u_{i-1}^{n+1} + (1 + 2\text{Fo})u_i^{n+1} - \text{Fo}u_{i+1}^{n+1} &= u_i^n. \end{aligned} \quad (13.39)$$

Reveja a discretização (13.5)–(13.9): para $i = 1, \dots, N_x - 1$, (13.39) acopla 3 valores das incógnitas u^{n+1} no instante $n + 1$. Quando $i = 0$, e quando $i = N_x$, não

podemos utilizar (13.39), porque não existem os índices $i = -1$, e $i = N_x + 1$. Quando $i = 1$ e $i = N_x - 1$, (13.39) precisa ser modificada, para a introdução das *condições de contorno*: como $u_0^n = 0$ e $u_{N_x}^n = 0$ para qualquer n , teremos

$$(1 + 2\text{Fo})u_1^{n+1} - \text{Fo}u_2^{n+1} = u_1^n, \quad (13.40)$$

$$-\text{Fo}u_{N_x-2}^{n+1} + (1 + 2\text{Fo})u_{N_x-1}^{n+1} = u_{N_x-1}^n. \quad (13.41)$$

Em resumo, nossas incógnitas são $u_1^{n+1}, u_2^{n+1}, \dots, u_{N_x-1}^{n+1}$ ($N_x - 1$ incógnitas), e seu cálculo envolve a solução do sistema de equações

$$\begin{bmatrix} 1 + 2\text{Fo} & -\text{Fo} & 0 & \dots & 0 & 0 \\ -\text{Fo} & 1 + 2\text{Fo} & \text{Fo} & 0 & \dots & 0 \\ \vdots & & & & & \vdots \\ 0 & \dots & 0 & -\text{Fo} & 1 + 2\text{Fo} & -\text{Fo} \\ 0 & 0 & \dots & 0 & -\text{Fo} & 1 + 2\text{Fo} \end{bmatrix} \begin{bmatrix} u_1^{n+1} \\ u_2^{n+1} \\ \vdots \\ u_{N_x-2}^{n+1} \\ u_{N_x-1}^{n+1} \end{bmatrix} = \begin{bmatrix} u_1^n \\ u_2^n \\ \vdots \\ u_{N_x-2}^n \\ u_{N_x-1}^n \end{bmatrix} \quad (13.42)$$

A análise de estabilidade de von Neumann procede agora da maneira usual:

$$\begin{aligned} \epsilon_i^{n+1} &= \epsilon_i^n + \text{Fo}(\epsilon_{i+1}^{n+1} - 2\epsilon_i^{n+1} + \epsilon_{i-1}^{n+1}) \\ \xi_l e^{a(t_n + \Delta t)} e^{ik_l i \Delta x} &= \xi_l e^{at_n} e^{ik_l i \Delta x} \\ &\quad + \text{Fo} \left(\xi_l e^{a(t_n + \Delta t)} e^{ik_l (i+1) \Delta x} - 2\xi_l e^{a(t_n + \Delta t)} e^{ik_l i \Delta x} \right. \\ &\quad \left. + \xi_l e^{a(t_n + \Delta t)} e^{ik_l (i-1) \Delta x} \right), \\ e^{a\Delta t} &= 1 + e^{a\Delta t} \text{Fo} \left(e^{ik_l \Delta x} - 2 + e^{-ik_l \Delta x} \right), \\ e^{a\Delta t} &= 1 + e^{a\Delta t} 2\text{Fo} \left(\cos(k_l \Delta x) - 1 \right), \\ e^{a\Delta t} &= 1 - e^{a\Delta t} 4\text{Fo} \sin^2 \left(\frac{k_l \Delta x}{2} \right), \\ e^{a\Delta t} \left[1 + 4\text{Fo} \sin^2 \left(\frac{k_l \Delta x}{2} \right) \right] &= 1, \\ |e^{a\Delta t}| &= \frac{1}{1 + 4\text{Fo} \sin^2 \left(\frac{k_l \Delta x}{2} \right)} \leq 1 \quad \text{sempre.} \end{aligned} \quad (13.43)$$

Portanto, o esquema implícito (13.39) é incondicionalmente estável, e temos confiança de que o programa correspondente não se instabilizará.

Existem várias coisas atraentes para um programador em (13.42). Em primeiro lugar, a matriz do sistema é uma matriz banda tridiagonal; sistemas lineares com este tipo de matriz são particularmente simples de resolver, e estão disponíveis na literatura (por exemplo: Press et al., 1992, seção 2.4, subrotina tridag). Em segundo lugar, a matriz do sistema é *constante*: ela só precisa ser montada uma vez no programa, o que torna a solução numérica potencialmente muito rápida.

Nós vamos começar, então, construindo um pequeno módulo, convenientemente denominado `algin.py`, que exporta a função `tridag`, que resolve um sistema tridiagonal, mostrado na listagem 13.9.

Em seguida, o programa `difusao1d-imp.py` resolve o problema com o método implícito. Ele está mostrado na listagem 13.10. A principal novidade está nas linhas 42–46, e depois novamente na linha 56. Em Python e Numpy, é possível especificar sub-listas, e sub-arrays, com um dispositivo denominado *slicing*, que torna a

Listagem 13.9: `alglin.py` — Exporta uma rotina que resolve um sistema tridiagonal, baseado em [Press et al. \(1992\)](#)

```

1  # -*- coding: iso-8859-1 -*-
2  # -----
3  # alglin.py implementa uma solução de um sistema linear com matriz tridiagonal
4  # -----
5  from numpy import zeros
6  def tridag(A,y):          # A,y têm que ser arrays!
7      m = A.shape[0]       # garante que A representa uma
8      n = A.shape[1]       # matriz tridiagonal
9      assert(m == 3)       # garante que todos os tamanhos estão OK
10     o = y.shape[0]
11     assert (n == o)
12     x = zeros(n,float)    # vetor de trabalho: vai retornar a solução
13     gam = zeros(n,float)  # vetor de trabalho: vai ficar por aqui
14     if A[1,0] == 0.0 :
15         exit("Erro_1_em_tridag")
16     bet = A[1,0]
17     x[0] = y[0]/bet
18     for j in range(1,n):
19         gam[j] = A[2,j-1]/bet
20         bet = A[1,j] - A[0,j]*gam[j]
21         if (bet == 0.0):
22             exit("Erro_2_em_tridag")
23         x[j] = (y[j] - A[0,j]*x[j-1])/bet
24     for j in range(n-2,-1,-1):
25         x[j] -= gam[j+1]*x[j+1]
26     return x

```

programação mais compacta e clara. Por exemplo, na linha 43, todos os elementos $A[0,1] \dots A[0,nx-1]$ recebem o valor -Fon.

Existe um programa `divisaold-imp.py`, mas ele não precisa ser mostrado aqui, porque as modificações, por exemplo a partir de `divisaold-exp.py`, são demasiadamente triviais para justificarem o gasto adicional de papel. Para $\Delta t = 0,001$, e $\Delta x = 0,01$, o resultado do método implícito está mostrado na figura 13.7

Nada mal, para uma economia de 100 vezes (em relação ao método explícito) em passos de tempo! (Note entretanto que a solução, em cada passo de tempo, é um pouco mais custosa, por envolver a solução de um sistema de equações acopladas, ainda que tridiagonal.)

Crank Nicholson A derivada espacial em (13.28) é aproximada, no esquema implícito (13.39), por um esquema de $O(\Delta x^2)$. A derivada temporal, por sua vez, é apenas de $O(\Delta t)$. Mas é possível consertar isso! A idéia é substituir (13.39) por

$$\frac{u_i^{n+1} - u_i^n}{\Delta t} = \frac{D}{2} \left[\frac{u_{i+1}^n - 2u_i^n + u_{i-1}^n}{\Delta x^2} + \frac{u_{i+1}^{n+1} - 2u_i^{n+1} + u_{i-1}^{n+1}}{\Delta x^2} \right],$$

$$u_i^{n+1} = u_i^n + \frac{Fo}{2} \left[u_{i+1}^n - 2u_i^n + u_{i-1}^n + u_{i+1}^{n+1} - 2u_i^{n+1} + u_{i-1}^{n+1} \right]. \quad (13.44)$$

Com esta mudança simples, a derivada espacial agora é uma média das derivadas em n e $n+1$, ou seja: ela está *centrada* em $n+1/2$. Com isto, a derivada temporal do lado esquerdo torna-se, na prática, um esquema de ordem 2 centrado em $n+1/2$!

Como sempre, nosso trabalho agora é verificar a estabilidade do esquema numérico. Para isto, fazemos

$$\epsilon_i^{n+1} - \frac{Fo}{2} \left[\epsilon_{i+1}^{n+1} - 2\epsilon_i^{n+1} + \epsilon_{i-1}^{n+1} \right] = \epsilon_i^n + \frac{Fo}{2} \left[\epsilon_{i+1}^n - 2\epsilon_i^n + \epsilon_{i-1}^n \right],$$

Listagem 13.10: difusao1d-imp.py — Solução numérica da equação da difusão: método implícito.

```

1  #!/usr/bin/python
2  # -*- coding: iso-8859-1 -*-
3  # -----
4  # difusao1d-imp resolve uma equação de difusão com um método
5  # implícito
6  #
7  # uso: ./difusao1d-imp.py
8  # -----
9  from __future__ import print_function
10 from __future__ import division
11 fou = open('difusao1d-imp.dat','wb')
12 dx = 0.01          # define a discretização em x
13 dt = 0.001         # define a discretização em t
14 print('#_dx_=%9.4f' % dx)
15 print('#_dy_=%9.4f' % dt)
16 nx = int(round(1.0/dx,0)) # número de pontos em x
17 nt = int(round(1.0/dt,0)) # número de pontos em t
18 print('#_nx_=%9d' % nx)
19 print('#_nt_=%9d' % nt)
20 from numpy import zeros
21 u = zeros((2,nx+1),float) # apenas 2 posições no tempo
22                             # são necessárias!
23 def CI(x):                # define a condição inicial
24     if 0 <= x <= 1.0:
25         return 2.0*x*(1.0-x)
26     else:
27         return 0.0
28 for i in range(nx+1):     # monta a condição inicial
29     xi = i*dx
30     u[0,i] = CI(xi)
31 u[0].tofile(fou)         # imprime a condição inicial
32 old = False
33 new = True
34 D = 2.0                  # difusividade
35 Fon = D*dt/((dx)**2)     # número de Fourier
36 print("Fo_=%10.6f" % Fon)
37 A = zeros((3,nx-1),float) # cria a matriz do sistema
38 # -----
39 # cuidado, "linha" e "coluna" abaixo não significam as reais linhas e colunas
40 # do sistema de equações, mas sim a forma de armazenar uma matriz tridiagonal
41 # -----
42 A[0,0] = 0.0             # zera A[0,0]
43 A[0,1:nx-1] = -Fon       # preenche o fim da 1a linha
44 A[1,0:nx-1] = 1.0 + 2*Fon # preenche a segunda linha
45 A[2,0:nx-2] = -Fon       # preenche o início da 2a linha
46 A[2,nx-2] = 0.0         # zera A[2,nx-2]
47 # -----
48 # importa uma tradução de tridag de Numerical Recipes para Python
49 # -----
50 from alglin import tridag
51 for n in range(nt):      # loop no tempo
52     print(n)
53     # -----
54     # atenção: calcula apenas os pontos internos de u!
55     # -----
56     u[new,1:nx] = tridag(A,u[old,1:nx])
57     u[new,0] = 0.0       # condição de contorno, x = 0
58     u[new,nx] = 0.0      # condição de contorno, x = 1
59     u[new].tofile(fou)   # imprime uma linha com os novos dados
60     (old,new) = (new,old) # troca os índices
61 fou.close()             # fecha o arquivo de saída, e fim.

```

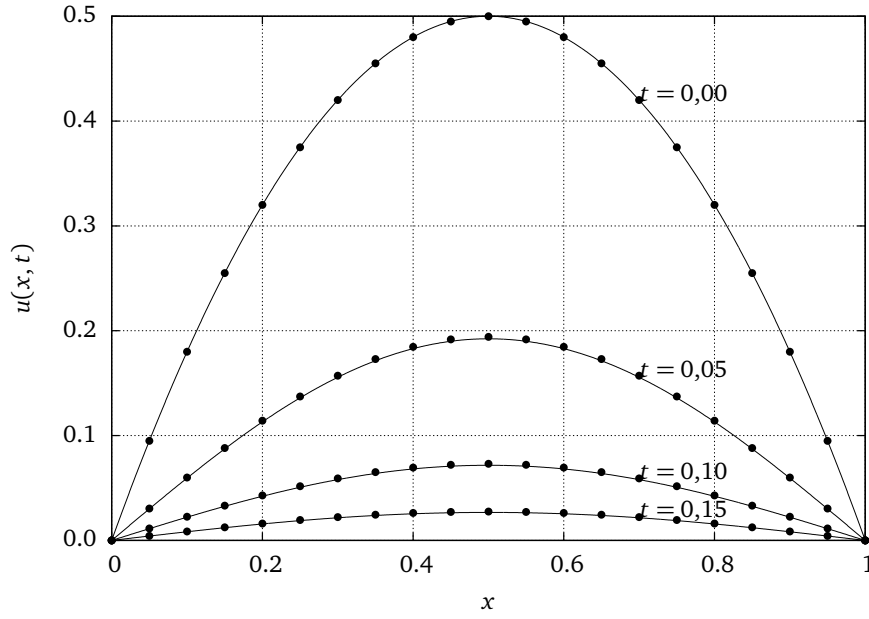


Figura 13.7: Solução numérica com o método implícito (13.39) (círculos) *versus* a solução analítica (linha cheia) da equação de difusão para $t = 0$, $t = 0,05$, $t = 0,10$ e $t = 0,15$. Apenas 1 a cada 5 pontos da grade numérica são mostrados, para facilitar a comparação com a solução analítica.

e substituímos um modo de Fourier:

$$\begin{aligned} \xi_l e^{a(t_n + \Delta t)} \left[e^{ik_l i \Delta x} - \frac{\text{Fo}}{2} (e^{ik_l (i+1) \Delta x} - 2e^{ik_l i \Delta x} + e^{ik_l (i-1) \Delta x}) \right] = \\ \xi_l e^{at_n} \left[e^{ik_l i \Delta x} + \frac{\text{Fo}}{2} (e^{ik_l (i+1) \Delta x} - 2e^{ik_l i \Delta x} + e^{ik_l (i-1) \Delta x}) \right] \\ e^{a \Delta t} \left[1 - \frac{\text{Fo}}{2} (e^{ik_l \Delta x} - 2 + e^{-ik_l \Delta x}) \right] = \left[1 + \frac{\text{Fo}}{2} (e^{ik_l \Delta x} - 2 + e^{-ik_l \Delta x}) \right] \\ e^{a \Delta t} [1 - \text{Fo} (\cos(k_l \Delta x) - 1)] = [1 + \text{Fo} (\cos(k_l \Delta x) - 1)] \\ e^{a \Delta t} \left[1 + 2\text{Fo} \sin^2 \left(\frac{k_l \Delta x}{2} \right) \right] = \left[1 - 2\text{Fo} \sin^2 \left(\frac{k_l \Delta x}{2} \right) \right] \\ e^{a \Delta t} = \frac{1 - 2\text{Fo} \sin^2 \left(\frac{k_l \Delta x}{2} \right)}{1 + 2\text{Fo} \sin^2 \left(\frac{k_l \Delta x}{2} \right)}. \end{aligned}$$

É fácil notar que $|e^{a \Delta t}| < 1$, e o esquema numérico de Crank-Nicholson é incondicionalmente estável. O esquema numérico de Crank-Nicholson é similar a (13.39):

$$-\frac{\text{Fo}}{2} u_{i-1}^{n+1} + (1 + \text{Fo}) u_i^{n+1} - \frac{\text{Fo}}{2} u_{i+1}^{n+1} = \frac{\text{Fo}}{2} u_{i-1}^n + (1 - \text{Fo}) u_i^n + \frac{\text{Fo}}{2} u_{i+1}^n \quad (13.45)$$

Para as condições de contorno de (13.30), as linhas correspondentes a $i = 1$ e $i = N_x - 1$ são

$$(1 + \text{Fo}) u_1^{n+1} - \frac{\text{Fo}}{2} u_2^{n+1} = (1 - 2\text{Fo}) u_1^n + \frac{\text{Fo}}{2} u_2^n, \quad (13.46)$$

$$-\frac{\text{Fo}}{2} u_{N_x-2}^{n+1} + (1 + \text{Fo}) u_{N_x-1}^{n+1} = \frac{\text{Fo}}{2} u_{N_x-2}^n + (1 - \text{Fo}) u_{N_x-1}^n \quad (13.47)$$

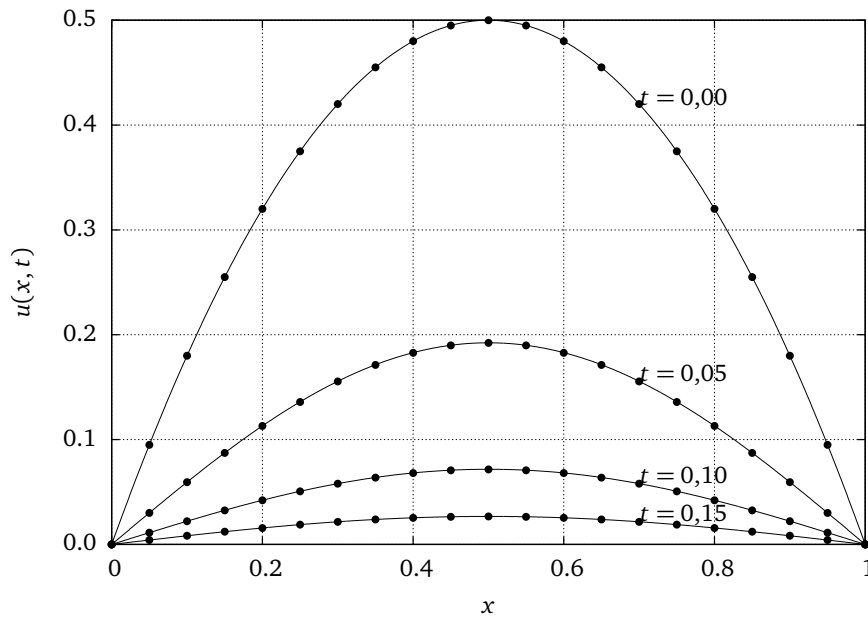


Figura 13.8: Solução numérica com o método de Crank-Nicholson ((13.45)) (círculos) versus a solução analítica (linha cheia) da equação de difusão para $t = 0$, $t = 0,05$, $t = 0,10$ e $t = 0,15$. Apenas 1 a cada 5 pontos da grade numérica são mostrados, para facilitar a comparação com a solução analítica.

As mudanças no código de `difusao-imp.py` são relativamente fáceis de se identificar. O código do programa que implementa o esquema numérico de Crank-Nicholson, `difusao1d-ckn.py`, é mostrado na listagem 13.11.

A grande novidade computacional de `difusao1d-ckn.py` é a linha 56: com os arrays proporcionados por Numpy, é possível escrever (13.45) *vetorialmente*: note que não há necessidade de fazer um *loop* em x para calcular cada elemento $b[i]$ individualmente. O mesmo tipo de facilidade está disponível em FORTRAN90, FORTRAN95, etc.. Com isso, a implementação computacional dos cálculos gerada por Numpy (ou pelo compilador FORTRAN) também é potencialmente mais eficiente.

O método de Crank-Nicholson possui acurácia $O(\Delta t)^2$, portanto ele deve ser capaz de dar passos ainda mais largos no tempo que o método implícito (13.39); no programa `difusao1d-ckn.py`, nós especificamos um passo de tempo 5 vezes maior do que em `difusao1d-imp.py`.

O resultado é uma solução cerca de 5 vezes mais rápida (embora, novamente, haja mais contas agora para calcular o vetor de carga b), e é mostrado na figura 13.8.

Exemplo 13.1 Dada a equação da difusão unidimensional

$$\frac{\partial u}{\partial t} = D \frac{\partial^2 u}{\partial x^2}, \quad 0 \leq x \leq L,$$

Listagem 13.11: difusao1d-ckn.py — Solução numérica da equação da difusão: esquema de Crank-Nicholson.

```

1  #!/usr/bin/python
2  # -*- coding: iso-8859-1 -*-
3  # -----
4  # difusao1d-ckn resolve uma equação de difusão com o método
5  # de Crank-Nicholson
6  #
7  # uso: ./difusao1d-ckn.py
8  # -----
9  from __future__ import print_function
10 from __future__ import division
11 fou = open('difusao1d-ckn.dat','wb')
12 dx = 0.01          # define a discretização em x
13 dt = 0.005         # define a discretização em t
14 print('#_dx=_%.4f' % dx)
15 print('#_dt=_%.4f' % dt)
16 nx = int(round(1.0/dx,0)) # número de pontos em x
17 nt = int(round(1.0/dt,0)) # número de pontos em t
18 print('#_nx=_%9d' % nx)
19 print('#_nt=_%9d' % nt)
20 from numpy import zeros
21 u = zeros((2,nx+1),float) # apenas 2 posições no tempo
22                             # são necessárias!
23 def CI(x):                # define a condição inicial
24     if 0 <= x <= 1.0:
25         return 2.0*x*(1.0-x)
26     else:
27         return 0.0
28 for i in range(nx+1):     # monta a condição inicial
29     xi = i*dx
30     u[0,i] = CI(xi)
31 u[0].tofile(fou)         # imprime a condição inicial
32 old = False
33 new = True
34 D = 2.0                  # difusividade
35 Fon = D*dt/((dx)**2)     # número de Fourier
36 print("Fo=_%.10.6f" % Fon)
37 A = zeros((3,nx-1),float) # cria a matriz do sistema
38 # -----
39 # cuidado, "linha" e "coluna" abaixo não significam as reais linhas e colunas
40 # do sistema de equações, mas sim a forma de armazenar uma matriz tridiagonal
41 # -----
42 A[0,0] = 0.0             # zera A[0,0]
43 A[0,1:nx-1] = -Fon/2.0   # preenche o fim da 1a linha
44 A[1,0:nx-1] = 1.0 + Fon  # preenche a segunda linha
45 A[2,0:nx-2] = -Fon/2.0   # preenche o início da 2a linha
46 A[2,nx-2] = 0.0         # zera A[2,nx-2]
47 # -----
48 # importa uma tradução de tridag de Numerical Recipes para Python
49 # -----
50 from alglin import tridag
51 for n in range(nt):      # loop no tempo
52     print(n)
53     # -----
54     # recalcula o vetor de carga vetorialmente
55     # -----
56     b = (Fon/2)*u[old,0:nx-1] + (1 - Fon)*u[old,1:nx] + (Fon/2)*u[old,2:nx+1]
57     # -----
58     # atenção: calcula apenas os pontos internos de u!
59     # -----
60     u[new,1:nx] = tridag(A,b)
61     u[new,0] = 0.0        # condição de contorno, x = 0
62     u[new,nx] = 0.0       # condição de contorno, x = 1
63     u[new].tofile(fou)    # imprime uma linha com os novos dados
64     (old,new) = (new,old) # troca os índices
65 fou.close()              # fecha o arquivo de saída, e fim.

```

e o esquema de discretização

$$\begin{aligned}\Delta x &= L/N_x, \\ x_i &= i\Delta x, \quad i = 0, \dots, N_x, \\ t_n &= t\Delta t, \\ u_i^n &= u(x_i, t_n), \\ \frac{1}{2\Delta t} [(u_{i+1}^{n+1} - u_{i+1}^n) + (u_{i-1}^{n+1} - u_{i-1}^n)] &= D \frac{u_{i+1}^n - 2u_i^n + u_{i-1}^n}{\Delta x^2},\end{aligned}$$

obtenha o critério de estabilidade por meio de uma análise de estabilidade de von Neumann.

SOLUÇÃO

Suponha que a equação diferencial se aplique ao erro:

$$\epsilon_i^n = \sum_l \xi_l e^{at_n} e^{ik_l i \Delta x} \Rightarrow$$

Então

$$\begin{aligned}\frac{1}{2\Delta t} [(\xi_l e^{a(t_n+\Delta t)} e^{ik_l(i+1)\Delta x} - \xi_l e^{at_n} e^{ik_l(i+1)\Delta x}) + (\xi_l e^{a(t_n+\Delta t)} e^{ik_l(i-1)\Delta x} - \xi_l e^{at_n} e^{ik_l(i-1)\Delta x})] &= \\ D \frac{\xi_l e^{at_n} e^{ik_l(i+1)\Delta x} - 2\xi_l e^{at_n} e^{ik_l i \Delta x} + \xi_l e^{at_n} e^{ik_l(i-1)\Delta x}}{\Delta x^2}; \\ \frac{1}{2\Delta t} [(\xi_l e^{a\Delta t} e^{ik_l(i+1)\Delta x} - \xi_l e^{ik_l(i+1)\Delta x}) + (\xi_l e^{a\Delta t} e^{ik_l(i-1)\Delta x} - \xi_l e^{ik_l(i-1)\Delta x})] &= \\ D \frac{\xi_l e^{ik_l(i+1)\Delta x} - 2\xi_l e^{ik_l i \Delta x} + \xi_l e^{ik_l(i-1)\Delta x}}{\Delta x^2}; \\ \frac{1}{2\Delta t} [(e^{a\Delta t} e^{ik_l(i+1)\Delta x} - e^{ik_l(i+1)\Delta x}) + (e^{a\Delta t} e^{ik_l(i-1)\Delta x} - e^{ik_l(i-1)\Delta x})] &= \\ D \frac{e^{ik_l(i+1)\Delta x} - 2e^{ik_l i \Delta x} + e^{ik_l(i-1)\Delta x}}{\Delta x^2}; \\ [(e^{a\Delta t} e^{ik_l(i+1)\Delta x} - e^{ik_l(i+1)\Delta x}) + (e^{a\Delta t} e^{ik_l(i-1)\Delta x} - e^{ik_l(i-1)\Delta x})] &= \\ \frac{2D\Delta t}{\Delta x^2} [e^{ik_l(i+1)\Delta x} - 2e^{ik_l i \Delta x} + e^{ik_l(i-1)\Delta x}].\end{aligned}$$

Segue-se que

$$\begin{aligned}e^{a\Delta t} [e^{ik_l(i+1)\Delta x} + e^{ik_l(i-1)\Delta x}] &= e^{ik_l(i+1)\Delta x} + e^{ik_l(i-1)\Delta x} + 2Fo [e^{ik_l(i+1)\Delta x} - 2e^{ik_l i \Delta x} + e^{ik_l(i-1)\Delta x}] \\ e^{a\Delta t} [e^{ik_l \Delta x} + e^{-ik_l \Delta x}] &= e^{ik_l \Delta x} + e^{-ik_l \Delta x} + 2Fo [e^{ik_l \Delta x} - 2 + e^{-ik_l \Delta x}] \\ e^{a\Delta t} &= 1 + 2Fo \frac{2\cos(k_l \Delta x) - 2}{2\cos(k_l \Delta x)} \\ &= 1 + 2Fo \frac{\cos(k_l \Delta x) - 1}{\cos(k_l \Delta x)} \\ &= 1 - 4Fo \frac{\sin^2(k_l \Delta x/2)}{\cos(k_l \Delta x)}.\end{aligned}$$

A função

$$f(x) = \frac{\sin^2(x/2)}{\cos(x)}$$

possui singularidades em $\pi/2 + k\pi$, e muda de sinal em torno destas singularidades: não é possível garantir que $|e^{a\Delta t}| < 1$ uniformemente, e o esquema é incondicionalmente instável.

Exercícios Propostos

13.3 Considere a equação diferencial parcial

$$\frac{\partial u}{\partial t} = D \frac{\partial^2 u}{\partial x^2}, \quad 0 \leq x \leq L,$$

com condições iniciais e de contorno

$$u(x, 0) = 0, \quad u(0, t) = c, \quad \frac{\partial u}{\partial x}(L, t) = 0,$$

onde c é uma constante. Dado o esquema de discretização implícito clássico,

$$\frac{u_i^{n+1} - u_i^n}{\Delta t} = D \frac{u_{i+1}^{n+1} - 2u_i^{n+1} + u_{i-1}^{n+1}}{\Delta x^2}$$

para $N_x = 8$, obtenha o sistema de equações lineares

$$[A][u]^{n+1} = [b]$$

onde os $A_{i,j}$'s dependem do número de grade de Fourier, e os b_i 's dependem dos u_i^n 's. Em outras palavras, **escreva explicitamente a matriz quadrada $[A]$ e a matriz-coluna $[b]$ para $N_x = 8$.**

13.4 Dada a equação diferencial não-linear de Boussinesq,

$$\begin{aligned} \frac{\partial h}{\partial t} &= \frac{\partial}{\partial x} \left[h \frac{\partial h}{\partial x} \right], \\ h(x, 0) &= H, \\ h(0, t) &= H_0, \\ \frac{\partial h}{\partial x} \Big|_{x=1} &= 0, \end{aligned}$$

obtenha uma discretização linearizada da mesma em diferenças finitas do tipo

$$h(x_i, t_n) = h(i\Delta x, n\Delta t) = h_i^n$$

da seguinte forma:

- discretize a derivada parcial em relação ao tempo com um esquema progressivo no tempo entre n e $n + 1$;
- aproxime h dentro do colchete por h_i^n (este é o truque que lineariza o esquema de diferenças finitas) **e mantenha-o assim**;
- utilize esquemas de diferenças finitas implícitos centrados no espaço para as derivadas parciais em relação a x , **exceto no termo h_i^n do item anterior**.

NÃO MEXA COM AS CONDIÇÕES DE CONTORNO.

13.3 – Difusão em 2 Dimensões: ADI, e equações elíticas

Considere a equação da difusão em 2 dimensões,

$$\frac{\partial u}{\partial t} = D \left(\frac{\partial^2 u}{\partial x^2} + \frac{\partial^2 u}{\partial y^2} \right). \quad (13.48)$$

Como sempre, nós queremos ser muito concretos, e trabalhar com um problema que possua solução analítica. Considere então a condição inicial

$$u(x, y, 0) = u_0 \exp \left(-\frac{(x^2 + y^2)}{L^2} \right); \quad (13.49)$$

a solução analítica é

$$u(x, y, t) = \frac{u_0}{1 + 4tD/L^2} \exp \left(-\frac{(x^2 + y^2)}{L^2 + 4Dt} \right). \quad (13.50)$$

Na verdade esta solução se “espalha” por todo o plano xy , mas nós podemos trabalhar com um problema finito em x e y , por exemplo, fazendo $-L \leq x \leq L$, $-L \leq y \leq L$, e impondo condições de contorno que se ajustem *exatamente* à solução analítica:

$$u(-L, y, t) = \frac{u_0}{1 + 4tD/L^2} \exp \left(-\frac{(L^2 + y^2)}{L^2 + 4Dt} \right), \quad (13.51)$$

$$u(L, y, t) = \frac{u_0}{1 + 4tD/L^2} \exp \left(-\frac{(L^2 + y^2)}{L^2 + 4Dt} \right), \quad (13.52)$$

$$u(x, -L, t) = \frac{u_0}{1 + 4tD/L^2} \exp \left(-\frac{(x^2 + L^2)}{L^2 + 4Dt} \right), \quad (13.53)$$

$$u(x, L, t) = \frac{u_0}{1 + 4tD/L^2} \exp \left(-\frac{(x^2 + L^2)}{L^2 + 4Dt} \right). \quad (13.54)$$

Agora, nós vamos fazer $D = 2$ (como antes) e $L = 1$, e resolver o problema numericamente. Nossa escolha recairá sobre um método simples, e de $O(\Delta t)^2$, denominado ADI (*alternating-direction implicit*). Este método nos proporcionará um exemplo de uma técnica denominada *operator splitting* ou *time splitting*, que nós vamos traduzir como “separação de operadores”. Esta técnica consiste em marchar implicitamente em uma dimensão espacial de cada vez, mantendo a outra dimensão “explícita”. Portanto, nós vamos utilizar *dois* esquemas diferentes de diferenças finitas (na prática), para resolver o problema! Ei-los

$$\frac{u_{i,j}^{n+1} - u_{i,j}^n}{\Delta t} = D \left(\frac{u_{i+1,j}^{n+1} - 2u_{i,j}^{n+1} + u_{i-1,j}^{n+1}}{\Delta x^2} + \frac{u_{i,j+1}^n - 2u_{i,j}^n + u_{i,j-1}^n}{\Delta y^2} \right) \quad (13.55)$$

$$\frac{u_{i,j}^{n+2} - u_{i,j}^{n+1}}{\Delta t} = D \left(\frac{u_{i+1,j}^{n+1} - 2u_{i,j}^{n+1} + u_{i-1,j}^{n+1}}{\Delta x^2} + \frac{u_{i,j+1}^{n+2} - 2u_{i,j}^{n+2} + u_{i,j-1}^{n+2}}{\Delta y^2} \right) \quad (13.56)$$

Examine cuidadosamente (13.55) e (13.56): na primeira, note que o esquema é implícito em x ; na segunda, a situação se reverte, e o esquema é implícito em y . É claro

que nós vamos precisar de duas análises de estabilidade de von Neumann, uma para cada equação.

2011-09-24T17:07:04 Por enquanto, vou supor que os dois esquemas são incondicionalmente estáveis, e mandar ver.

Além disto, por simplicidade vamos fazer $\Delta x = \Delta y = \Delta$, de maneira que só haverá um número de Fourier de grade no problema,

$$\text{Fo} = \frac{D\Delta t}{\Delta^2}, \quad (13.57)$$

e então teremos, para x :

$$\begin{aligned} u_{i,j}^{n+1} - u_{i,j}^n &= \text{Fo} \left(u_{i-1,j}^{n+1} - 2u_{i,j}^{n+1} + u_{i+1,j}^{n+1} + u_{i,j-1}^n - 2u_{i,j}^n + u_{i,j+1}^n \right), \\ u_{i,j}^{n+1} - \text{Fo} \left(u_{i-1,j}^{n+1} - 2u_{i,j}^{n+1} + u_{i+1,j}^{n+1} \right) &= u_{i,j}^n + \text{Fo} \left(u_{i,j-1}^n - 2u_{i,j}^n + u_{i,j+1}^n \right), \\ -\text{Fou}_{i-1,j}^{n+1} + (1 + 2\text{Fo})u_{i,j}^{n+1} - \text{Fou}_{i+1,j}^{n+1} &= \text{Fou}_{i,j-1}^n + (1 - 2\text{Fo})u_{i,j}^n + \text{Fou}_{i,j+1}^n \end{aligned} \quad (13.58)$$

Na dimensão y ,

$$\begin{aligned} u_{i,j}^{n+2} - u_{i,j}^{n+1} &= \text{Fo} \left(u_{i-1,j}^{n+1} - 2u_{i,j}^{n+1} + u_{i+1,j}^{n+1} + u_{i,j-1}^{n+2} - 2u_{i,j}^{n+2} + u_{i,j+1}^{n+2} \right), \\ u_{i,j}^{n+2} - \text{Fo} \left(u_{i-1,j}^{n+1} - 2u_{i,j}^{n+1} + u_{i+1,j}^{n+1} \right) &= u_{i,j}^{n+1} + \text{Fo} \left(u_{i,j-1}^{n+1} - 2u_{i,j}^{n+1} + u_{i,j+1}^{n+1} \right), \\ -\text{Fou}_{i,j-1}^{n+2} + (1 + 2\text{Fo})u_{i,j}^{n+2} - \text{Fou}_{i,j+1}^{n+2} &= \text{Fou}_{i-1,j}^{n+1} + (1 - 2\text{Fo})u_{i,j}^{n+1} + \text{Fou}_{i+1,j}^{n+1} \end{aligned} \quad (13.59)$$

Se nós utilizarmos (novamente por simplicidade) o mesmo número de pontos $N + 1$ em x e em y , teremos o seguinte mapeamento para a nossa grade:

$$N = \frac{2L}{\Delta}; \quad (13.60)$$

$$x_i = -L + i\Delta, \quad i = 0, \dots, N, \quad (13.61)$$

$$y_j = -L + j\Delta, \quad j = 0, \dots, N, \quad (13.62)$$

e portanto $-L \leq x_i \leq L$ e $-L \leq y_j \leq L$. Lembrando que os valores de $u_{0,j}$, $u_{N,j}$, $u_{i,0}$ e $u_{i,N}$ estão especificados, há $(N - 1)^2$ incógnitas para serem calculadas. A beleza de (13.58) e (13.59) é que em vez de resolver a cada passo (digamos) $2\Delta t$ um sistema de $(N - 1)^2$ incógnitas, nós agora podemos resolver a cada passo Δt $N - 1$ sistemas de $(N - 1)$ incógnitas, alternadamente para $u_{1,\dots,N-1;j}$ e $u_{i;1,\dots,N-1}$.

É claro que o céu é o limite: poderíamos, por exemplo, em vez de usar um esquema totalmente implícito, usar Crank-Nicholson em cada avanço Δt ; isto nos daria imediatamente um esquema com acurácia de ordem Δt^2 . No entanto, assim como está o método ADI já é suficientemente sofisticado para nosso primeiro encontro com este tipo de problema. Devemos, portanto, programá-lo. Vamos, inicialmente, programar a solução analítica, na listagem 13.12.

A solução analítica do problema para os instantes de tempo $t = 0$, $t = 0,1$, $t = 0,2$ e $t = 0,3$ está mostrada na figura 13.9

Listagem 13.12: `difusao2d-ana.py` — Solução analítica da equação da difusão bidimensional.

```

1  #!/usr/bin/python
2  # -*- coding: iso-8859-1 -*-
3  # -----
4  # difusao2d-ana: solução analítica de
5  #
6  #  $du/dt = D (du^2/dx^2 + du^2/dy^2)$ 
7  #
8  #  $u(x,0) = T0 \exp(-(x^2 + y^2)/L^2)$ 
9  #
10 # com  $T0 = 1$ ,  $D = 2$ ,  $L = 1$ , em um domínio  $(-L,-L)$  até  $(L,L)$ 
11 #
12 # uso: ./difusao2d-ana.py
13 # -----
14 from __future__ import print_function
15 from __future__ import division
16 fou = open('difusao2d-ana.dat','wb')
17 dd = 0.01
18 dt = 0.001
19 print('#_dd=_%9.4f' % dd)
20 print('#_dt=_%9.4f' % dt)
21 nn = int(2.0/dd)          # número de pontos em x e em y
22 nt = int(1.0/dt)          # número de pontos em t
23 print('#_nn=_%9d' % nn)
24 print('#_nt=_%9d' % nt)
25 from math import exp
26 def ana(x,y,t):
27     return (1.0/(1.0 + 8*t))*exp(-(x**2 + y**2))
28 from numpy import zeros
29 u = zeros((nn+1,nn+1),float) # um array para conter a solução
30 for n in range(nt+1):        # loop no tempo
31     t = n*dt
32     print(t)
33     for i in range(nn+1):     # loop no espaço
34         xi = -1 + i*dd
35         for j in range(nn+1):
36             yj = -1 + j*dd
37             u[i,j] = ana(xi,yj,t)
38     u.tofile(fou)             # imprime uma matriz com os dados
39 fou.close()

```

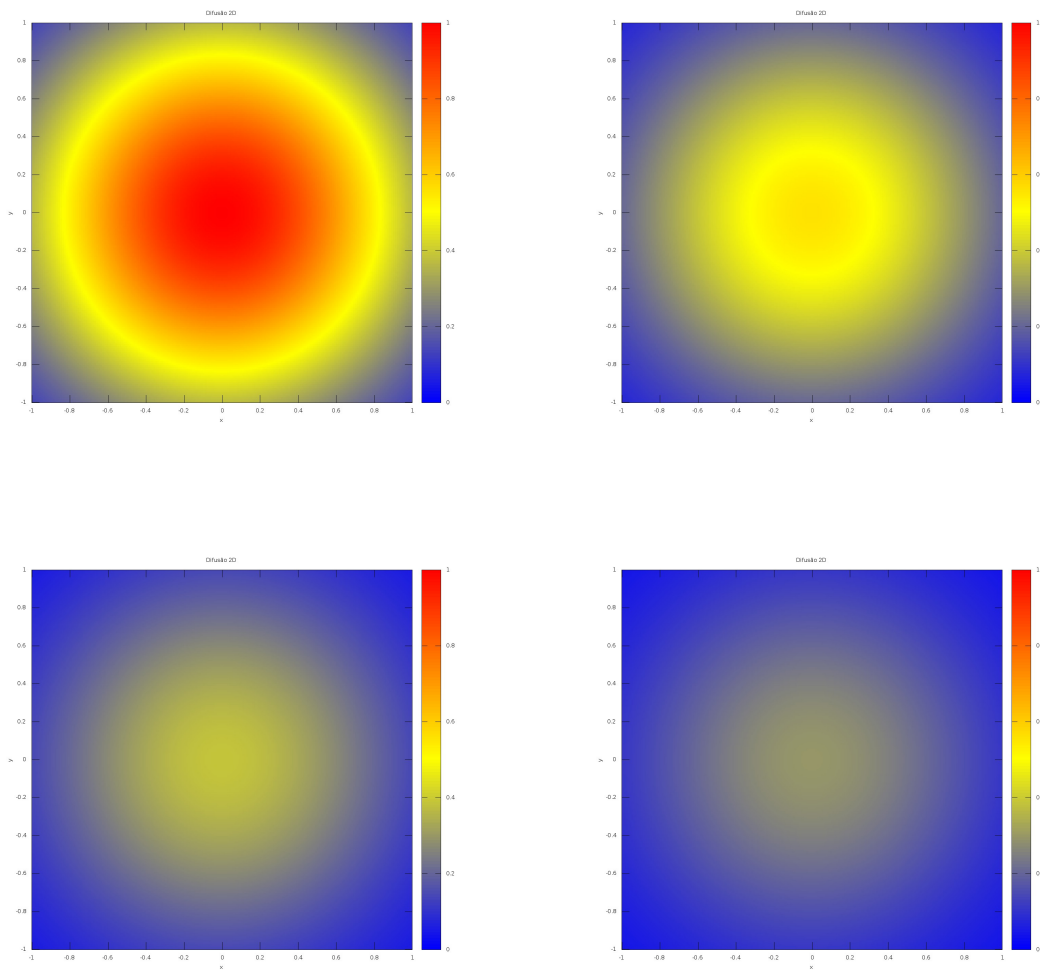


Figura 13.9: Solução analítica da equação da difusão bidimensional, para $t = 0$, $t = 0.1$, $t = 0.2$ e $t = 0.3$

Em seguida, o esquema numérico ADI está implementado na listagem 13.13. O resultado é mostrado na figura 13.10.

Listagem 13.13: difusao2d-adi.py — Solução numérica da equação da difusão bi-dimensional, esquema ADI.

```

1  #!/usr/bin/python
2  # -*- coding: iso-8859-1 -*-
3  # -----
4  # difusao2d-adi resolve uma equação de difusão com um método implícito
5  #
6  # uso: ./difusao2d-adi.py
7  # -----
8  from __future__ import print_function
9  from __future__ import division
10 fou = open('difusao2d-adi.dat','wb')
11 dd = 0.02                                # define a discretização em x,y
12 dt = 0.001                              # define a discretização em t
13 print('#_dd=_%.4f' % dd)
14 print('#_dt=_%.4f' % dt)
15 nn = int(round(2.0/dd,0))                # número de pontos em x,y
16 nt = int(round(1.0/dt,0))                # número de pontos em t
17 print('#_nn=_%d' % nn)
18 print('#_nt=_%d' % nt)
19 from numpy import zeros
20 u = zeros((2,nn+1,nn+1),float)          # apenas 2 posições no tempo
21                                         # são necessárias!
22 from math import exp
23 def CCy(y):
24     return (1.0/aux)*exp( - (1.0 + y*y)/aux)
25 def CCx(x):
26     return (1.0/aux)*exp( - (1.0 + x*x)/aux)
27 def CI(x, y):
28     return exp(-(x*x + y*y))
29 for i in range(nn+1):                    # monta a condição inicial
30     xi = -1.0 + i*dd                    # inteira, até as fronteiras
31     for j in range(nn+1):                # inclusive
32         yj = -1.0 + j*dd
33         u[0,i,j] = CI(xi,yj)
34 u[0].tofile(fou)                         # imprime a condição inicial
35 D = 2.0                                 # difusividade
36 Fon = D*dt/((dd)**2)                    # número de Fourier
37 print("Fo=_%.10.6f" % Fon)
38 A = zeros((3,nn-1),float)               # cria a matriz do sistema
39 # -----
40 # monta a matriz do sistema
41 # -----
42 A[0,0] = 0.0                            # zera A[0,0]
43 A[0,1:nn-1] = -Fon                      # preenche o fim da 1a linha
44 A[1,0:nn-1] = 1.0 + 2*Fon               # preenche a segunda linha
45 A[2,0:nn-2] = -Fon                      # preenche o início da 2a linha
46 A[2,nn-2] = 0.0                        # zera A[2,nn-2]
47 # -----
48 # importa uma tradução de tridag de Numerical Recipes para Python
49 # -----
50 from alglin import tridag
51 old = False                             # o velho truque!
52 new = True
53 n = 0
54 b = zeros(nn-1,float)
55 while (n < nt+1):                        # loop no tempo
56     n += 1
57     print(n)
58 # -----
59 # varre na direção x
60 # -----
61     t = n*dt
62     aux = 1.0 + 8.0*t
63     for j in range(nn+1):                # CC ao longo de x
64         yj = -1.0 + j*dd
65         u[new,0,j] = CCy(yj)
66         u[new,nn,j] = CCy(yj)

```



```

67  for j in range(1,nn):          # nn-1 varreduras em x (logo, loop em y)
68      yj = -1.0 + j*dd
69      b[1:nn-2] = Fon*u[old,2:nn-1,j-1] \
70                  + (1.0 - 2*Fon)*u[old,2:nn-1,j] \
71                  + Fon*u[old,2:nn-1,j+1]
72      b[0] = Fon*u[old,1,j-1] + (1.0 - 2*Fon)*u[old,1,j] \
73              + Fon*u[old,1,j+1] \
74              + Fon*u[new,0,j]
75      b[nn-2] = Fon*u[old,nn-1,j-1] + (1.0 - 2*Fon)*u[old,nn-1,j] \
76              + Fon*u[old,nn-1,j+1] \
77              + Fon*u[new,nn,j]
78      u[new,1:nn,j] = tridag(A,b)
79      u[new].tofile(fou)
80  # -----
81  # varre na direção y
82  # -----
83      (new,old) = (old,new)
84      n += 1
85      print(n)
86      t = n*dt
87      aux = 1.0 + 8.0*t
88      for i in range(nn+1):      # CC ao longo de y
89          xi = -1.0 + i*dd
90          u[new,i,0] = CCx(xi)
91          u[new,i,nn] = CCx(xi)
92      for i in range(1,nn):      # nn-1 varreduras em y (logo, loop em x)
93          xi = -1.0 + i*dd
94          b[1:nn-2] = Fon*u[old,i-1,2:nn-1] \
95                      + (1.0 - 2*Fon)*u[old,i,2:nn-1] \
96                      + Fon*u[old,i+1,2:nn-1]
97          b[0] = Fon*u[old,i-1,1] + (1.0 - 2*Fon)*u[old,i,1] \
98                  + Fon*u[old,i+1,1] \
99                  + Fon*u[new,i,0]
100         b[nn-2] = Fon*u[old,i-1,nn-1] + (1.0 - 2*Fon)*u[old,i,nn-1] \
101                 + Fon*u[old,i+1,nn-1] \
102                 + Fon*u[new,i,nn]
103         u[new,i,1:nn] = tridag(A,b)
104         u[new].tofile(fou)
105         (new,old) = (old,new)
106     fou.close()                # fecha o arquivo de saída, e fim.

```

Exemplo 13.2 Utilizando a análise de estabilidade de von Newmann, mostre que o esquema numérico correspondente à primeira das equações acima é incondicionalmente estável. Suponha $\Delta x = \Delta y = \Delta s$.

SOLUÇÃO

Inicialmente, rearranjamos o esquema de discretização, multiplicando por Δt e dividindo por Δx^2 :

$$u_{i,j}^{n+1} - u_{i,j}^n = \text{Fo} \left[u_{i+1,j}^{n+1} - 2u_{i,j}^{n+1} + u_{i-1,j}^{n+1} + u_{i,j+1}^n - 2u_{i,j}^n + u_{i,j-1}^n \right],$$

onde

$$\text{Fo} = \frac{D\Delta t}{\Delta s^2}.$$

Faça agora

$$\begin{aligned}
 t_n &= n\Delta t, \\
 x_i &= i\Delta s, \\
 y_j &= j\Delta s, \\
 \epsilon_i^n &= \sum_{l,m} \xi_{l,m} e^{at_n} e^{ik_l x_i} e^{ik_m y_j},
 \end{aligned}$$

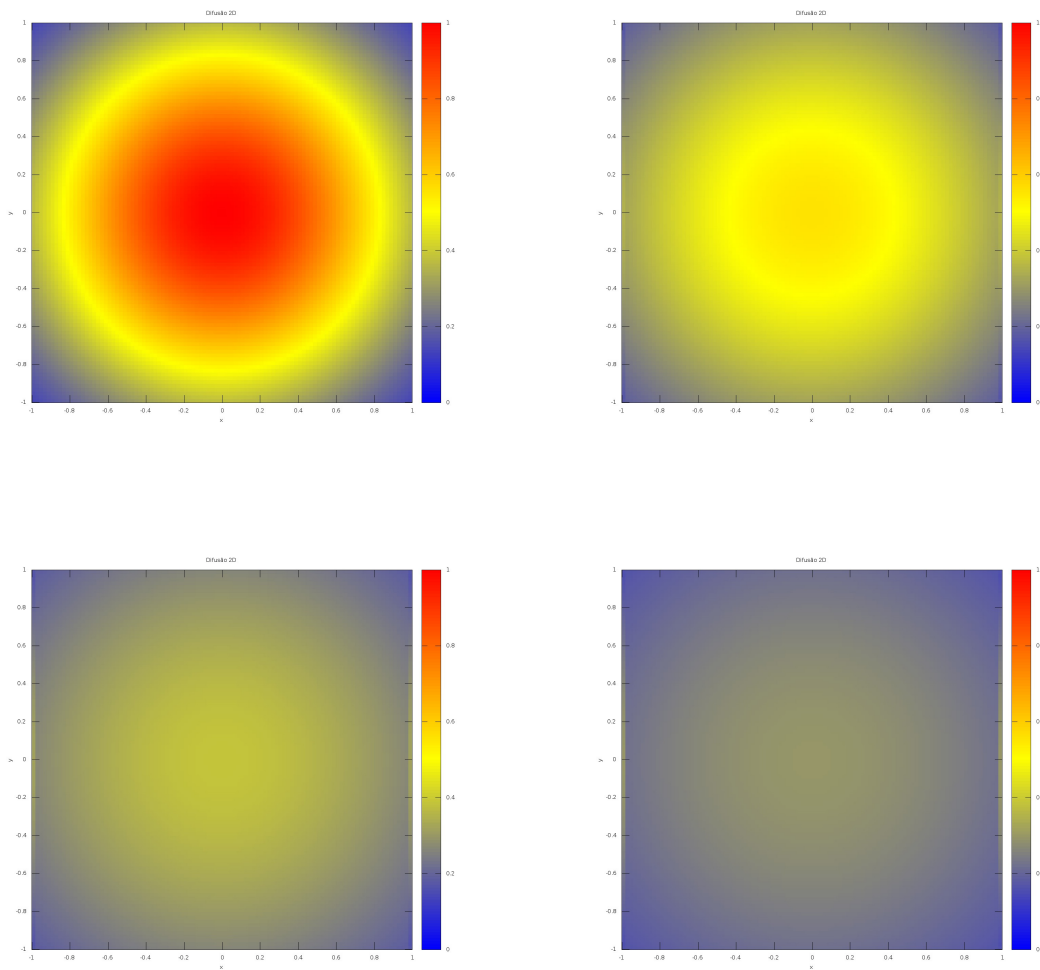


Figura 13.10: Solução numérica da equação da difusão bidimensional com o esquema ADI, para $t = 0$, $t = 0,1$, $t = 0,2$ e $t = 0,3$

e substitua o modo (l, m) no esquema de discretização:

$$\begin{aligned} & \xi_{l,m} e^{a(t_n+\Delta t)} e^{ik_l i \Delta s} e^{ik_m j \Delta s} - \xi_{l,m} e^{at_n} e^{ik_l i \Delta s} e^{ik_m j \Delta s} = \\ \text{Fo} & \left[\xi_{l,m} e^{a(t_n+\Delta t)} e^{ik_l(i+1)\Delta s} e^{ik_m j \Delta s} - 2\xi_{l,m} e^{a(t_n+\Delta t)} e^{ik_l i \Delta s} e^{ik_m j \Delta s} + \xi_{l,m} e^{a(t_n+\Delta t)} e^{ik_l(i-1)\Delta s} e^{ik_m j \Delta s} \right. \\ & \left. \xi_{l,m} e^{at_n} e^{ik_l i \Delta s} e^{ik_m(j+1)\Delta s} - 2\xi_{l,m} e^{at_n} e^{ik_l i \Delta s} e^{ik_m j \Delta s} + \xi_{l,m} e^{at_n} e^{ik_l i \Delta s} e^{ik_m(j-1)\Delta s} \right]. \end{aligned}$$

Nós imediatamente reconhecemos o fator comum

$$\xi_{l,m} e^{at_n} e^{ik_l i \Delta s} e^{ik_m j \Delta s},$$

e simplificamos:

$$\begin{aligned} e^{a\Delta t} - 1 &= \text{Fo} \left[e^{a\Delta t} e^{+ik_l \Delta s} - 2e^{a\Delta t} + e^{a\Delta t} e^{-ik_l \Delta s} + e^{+ik_m \Delta s} - 2 + e^{-ik_m \Delta s} \right], \\ e^{a\Delta t} \left[1 - \text{Fo}(e^{+ik_l \Delta s} - 2 + e^{-ik_l \Delta s}) \right] &= 1 + \text{Fo} \left[e^{+ik_m \Delta s} - 2 + e^{-ik_m \Delta s} \right] \\ e^{a\Delta t} \left[1 - 2\text{Fo}(\cos(k_l \Delta s) - 1) \right] &= 1 + 2\text{Fo}(\cos(k_m \Delta s) - 1) \\ |e^{a\Delta t}| &= \left| \frac{1 + 2\text{Fo}(\cos(k_m \Delta s) - 1)}{1 - 2\text{Fo}(\cos(k_l \Delta s) - 1)} \right|, \\ |e^{a\Delta t}| &= \left| \frac{1 - 4\text{Fo} \sin^2 \left(\frac{k_m \Delta s}{2} \right)}{1 + 4\text{Fo} \sin^2 \left(\frac{k_l \Delta s}{2} \right)} \right| \leq 1 \blacksquare \end{aligned}$$

